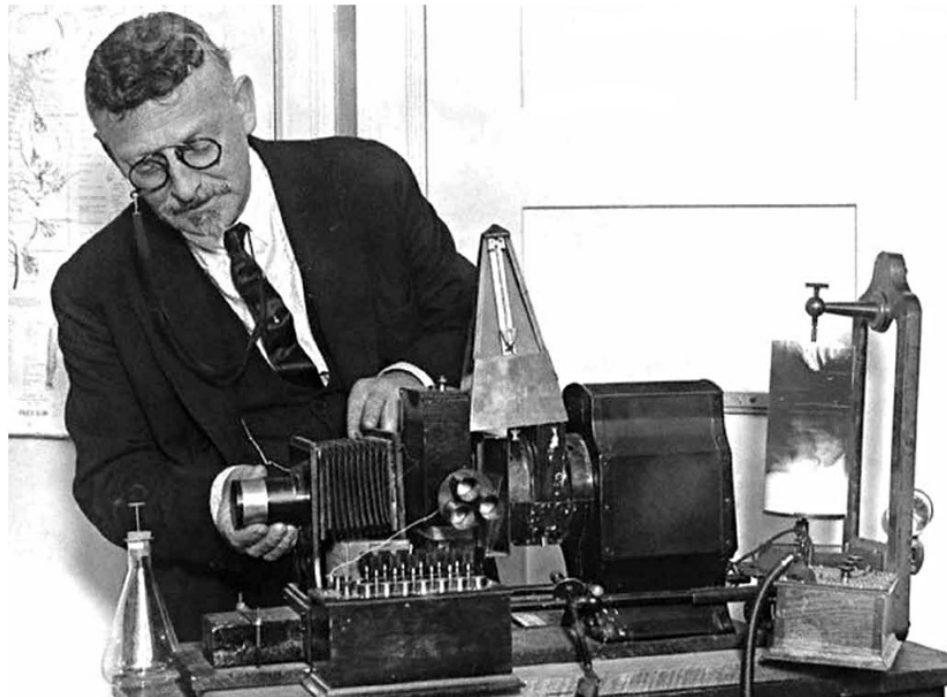


# Radionika

Diana Wojtkowiak 2023



Abrams adjusting the machine (~1922)

## **Albert Abrams 1865 - 1924**

**Neapol tenor Enrico Caruso**

**Heidelberg, prof..de Sauer - wyrwana cebula wpływa na te rosnące**

**Gurwitz - później**

**Abrams zauważył różnice dźwięku przy ostukiwaniu pacjentów  
nowotworowych**

**Zmiana dźwięku u osoby zdrowej w obecności chorej na nowotwór  
albo przy kontakcie z tkanką nowotworową.**

**Przekazywanie sygnału po przewodzie elektrycznym.**

**Pierwszy zastosował płytkę do pocierania**

**Informacja o chorobie jest w całym organizmie**

**zastosowane rezystory drutowena przewodzie wyznaczały chorobę**

## Albert Abrams



## **Albert Abrams**

**Urządzenie do leczenia (Samuel Hoffman)**

**Leczenie przez linię telefoniczną**

**Określanie położenia schorzenia w ciele z kropli krwi na drugiej osobie**

**Diagnostyka ze zdjęcia**

## **Curtis P. Upton, William J. Knuth**

firma UKACO 1949 -1952

**niszczenie szkodników na polu  
transfer informacji pestytydu przez zdjęcie lotnicze  
70% mniej szkodników, 20 - 30 % większe plony  
rezygnacja z pestycydów**

**Dow Chemical Corporation**

## Informacje elektryczne z organizmu

EEG

EKG

EMG

potencjał na punktach akupunkturowych

## Informacje cząstek pola torsyjnego z organizmu

data urodzenia

miejsce urodzenia

charakter

stany zapalne

pole nowotworowe

promieniowanie śmierci

promieniowanie czakramów - białka prionowe

## Mora

1977-**Францем Мореллем** (F. Morell) (1920-1990) врач, и инженер **Эриком Раше** (E. Rasche), специалисты из Германии, предложили новый биофизический метод МОРА-терапия



Mora Super+. Выпускается с 1990 года

## Bicom

В 1992 году на основе идей Мореля фирмой **Brugemann GmbH** (Germany) был разработан аппарат **BICOM** (от слова Bicomunication), а затем для мультрезонансной терапии MULTICOM. аппарат "Bicom" ("Regimed", Германия)



# Quantec

**Peter von Buengner**



# Time Weaver

**Marcus Schmieke**  
**Burkhard Heim (uczeń Wenera Heisenberga)**  
**el Niuno ?**

Healy



## Oberon

Nesterow Władimir Igoriewicz 1955 -, But Jurij Swiatosławowicz  
promieniowanie śmierci

Patenty: RU 2119806  
RU 2142826  
RU 2231974



# Oberon



# Metatron

Nesterow Władimir Igoriewicz

1988 KGB, GRU, Pentagon, NASA

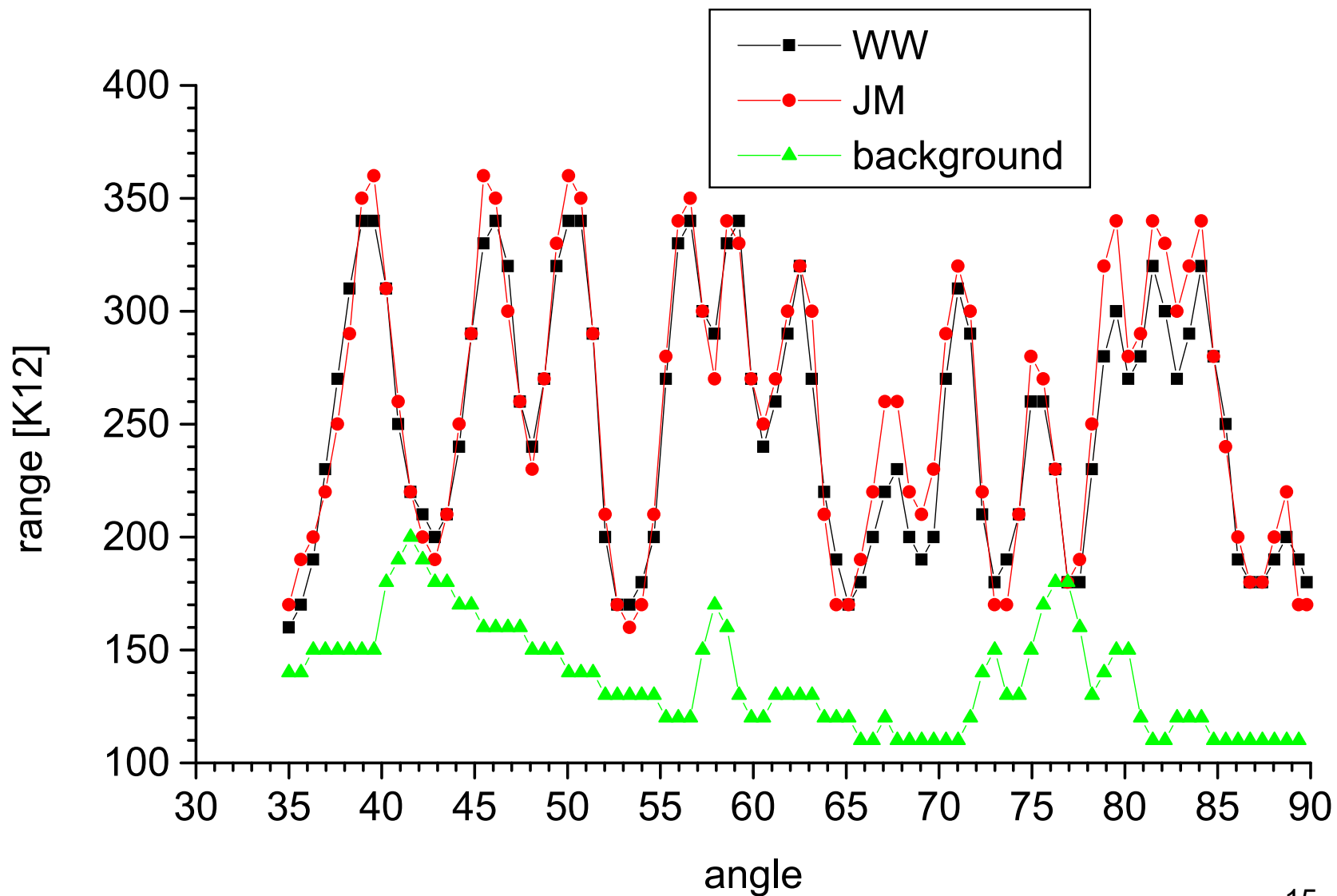


## **Patent RU 2119806 - promieniowanie śmierci**

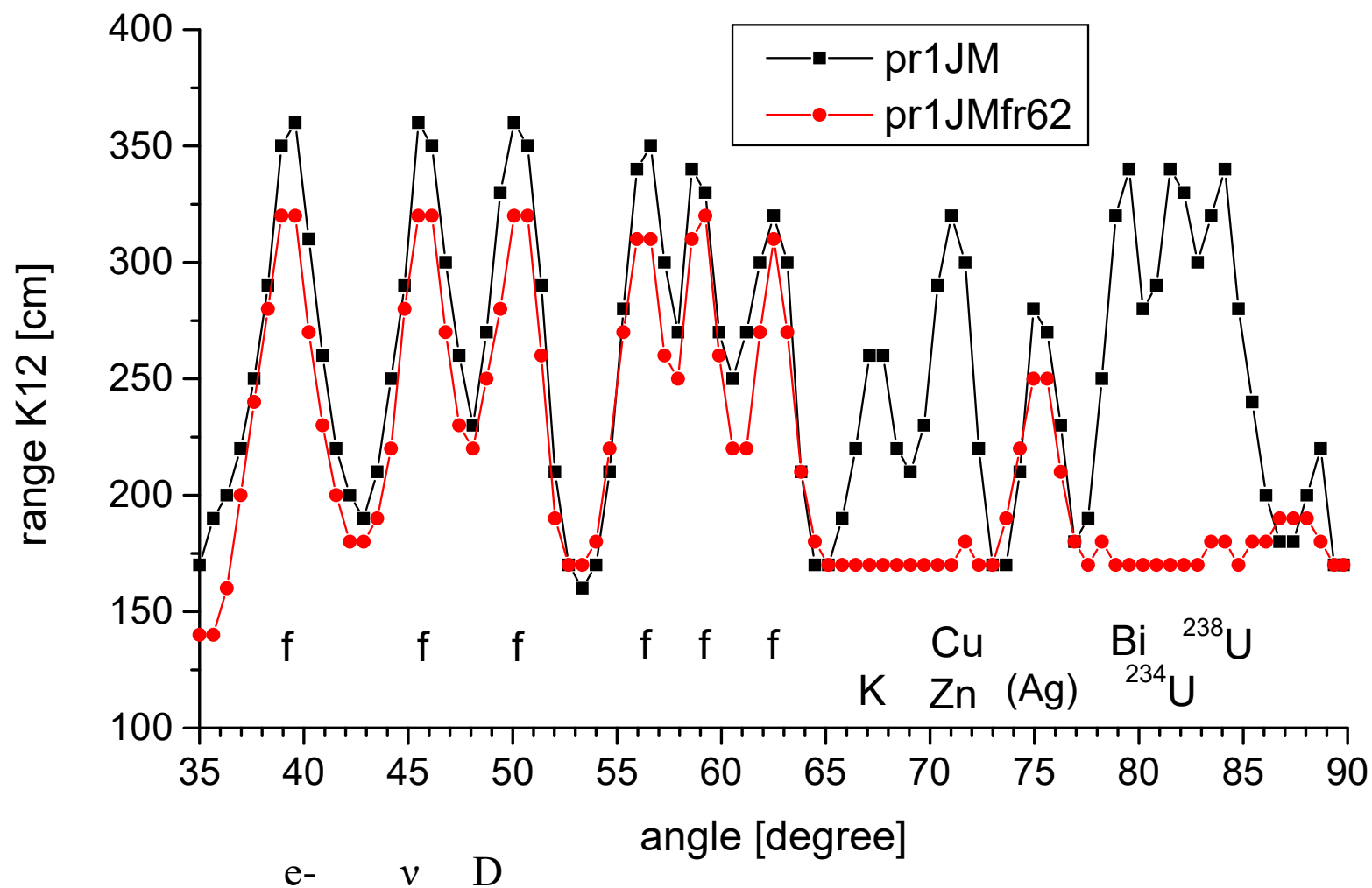
**Karty Zenera - 20%**  
**impulsowe pole magnetyczne 50%**

**E. coli - 68%**  
**biała mysz - 69%**  
**biały szczur - 80%**  
**świnka morska - 70%**  
**królik 76%**  
**pies 83%**  
**makak - 85%**  
**mężczyzna 36 lat po 9h - 96%**  
**kobieta 76 lat po 4h - 80%**

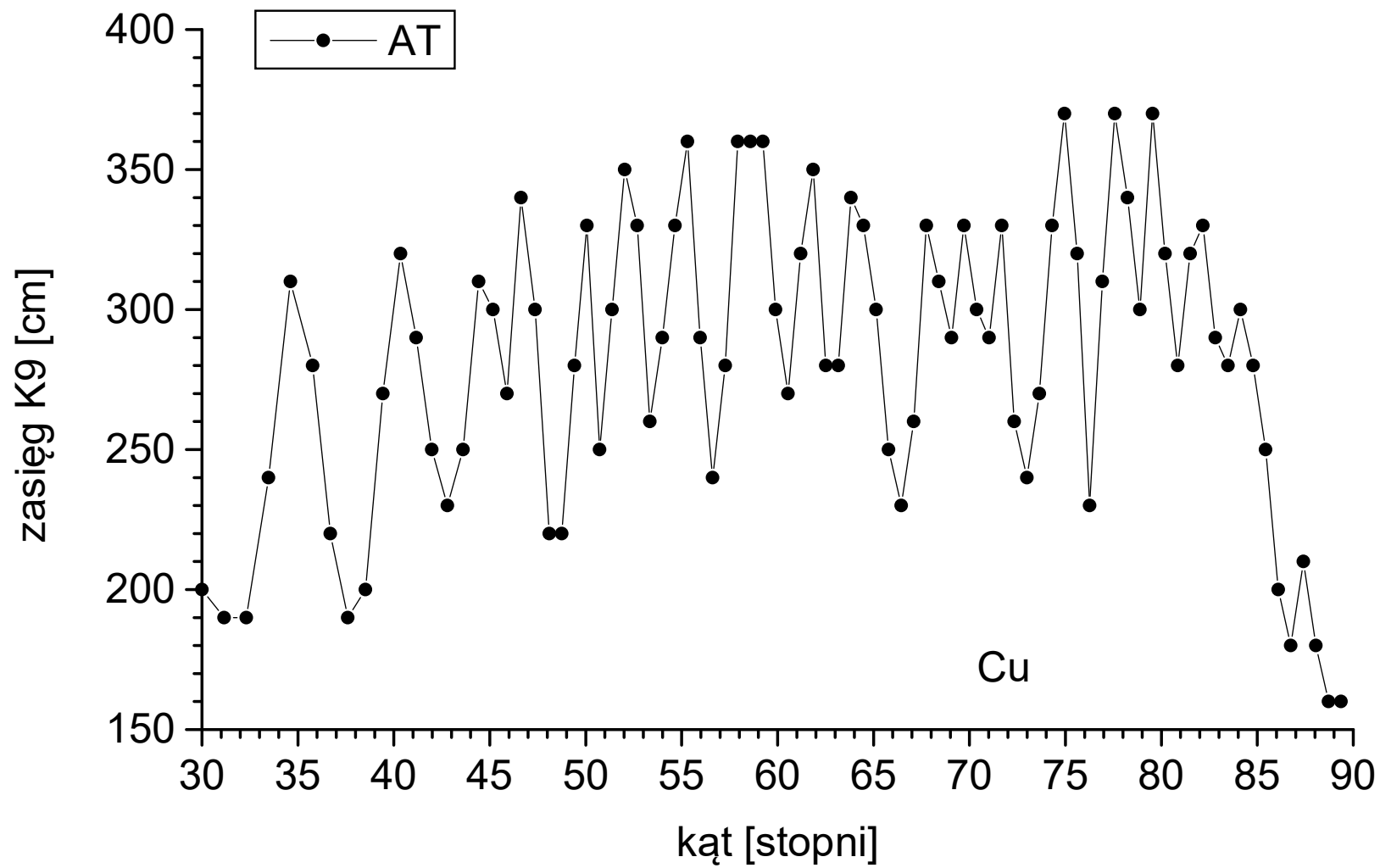
# Porównanie promieniowania śmierci od dwóch osób



# Powiązany zespół sygnałów w promieniowaniu śmierci



# Promieniowanie śmierci



## Promieniowanie śmierci

Kategoria	Promieniowa nie śmierci JM	JM fr43(62°) x0,5x1,4 L	JM fr43(62°) x0,5x1,4 L	JM fr43(62°) x0,5x1,4 P	JM fr43(62°) x0,5x1,4 P
	zasięg [cm]	zasięg [cm]	zasięg [cm]	zasięg [cm]	zasięg [cm]
K1	280	190	210	210	210
K2	320	370	350	320	300
K3	300	190	200	250	260
K4	290	250	240	360	340
K5	310	370	350	350	340
K6	280	320	300	200	200
K7	320	260	250	200	200
K8	250	310	310	200	200
K9	250	230	210	210	200
K10	300	220	200	320	300
K11	250	220	200	250	250
K12	250	240	200	200	200

USA, New York, Brooklyn, 1913

# Promieniowanie śmierci 1

## Jasnowidzenie

- W latach 70-tych XXw zauważono, że **oficerowie dokonujący wyroków śmierci uzyskiwali na pewien okres zdolności jasnowidzenia.** (karty Zenera)
- W Omsku Nesterow i Hammer w katedrze anatomii patologicznej prowadzili badania nad **wzrostem zdolności jasnowidzenia pod wpływem śmierci zwierząt i ludzi.**  
**OBERON** Юрий Бут и Владимир Нестеров (karty zenera)
- **Denis Gabor, węgierski fizyk** (1900-1979) zaobserwował promieniowanie ultrafioletowe następujące podczas śmierci żywych komórek zwierząt i roślin, jednocześnie **zaobserwował zwiększenie efektywności intuicji.** (test Raita)

# Promieniowanie śmierci 2

## Promieniowanie radioaktywne

**1924-Лепешкин Владимир Васильевич (1876-1956)**

по окружности кастрюли Лепешкин **наклеивал фотопленку, после чего помещал туда живых креветок и ошпаривал их кипятком.** Когда после окончания опыта пленку проявляли, **она неизменно оказывалась засвеченной.** Для чистоты эксперимента Лепешкин брал различных животных и даже растения, однако результат всегда оставался неизменным: пленка оказывалась засвеченной. Если же пленка помещалась снаружи сосуда, то засветки не было.

## Promieniowanie śmierci 3

### Promieniowanie radioaktywne

**1979-**В одной из отечественных газет промелькнула заметка об экспериментах, проводившихся еще в 1979 году в лаборатории 1-го Медицинского института. Они на редкость простые и весьма напоминают опыты в Пуццино. **На стол клали связанного кролика, вокруг ставили стаканы с жидкостью-индикатором.** Затем экспериментатор «молодецким» **ударом перерубал кролику шейный позвонок. Жидкость в стаканах меняла свой цвет.** В одних она становилась розовой, в других красной, а в расположенных около головы погибшего животного - насыщенной бордовой. Ученые объяснили журналисту, присутствовавшему на опыте, что **мозг животного подобен «ядерному реактору»** в момент гибели он выбрасывает во все стороны пучки протонов. Жидкость-индикатор наглядно демонстрирует, в каком направлении идут наиболее интенсивные пучки.

# Promieniowanie śmierci 4

## Fantom

**1991-Гаряев Петр Петрович (1942-2020).**

Исследователи отдела теоретических проблем АН СССР под руководством академика П. П. Гаряева проводили **эксперименты с ядрами, извлеченными из куриных эмбрионов**. Было установлено, что при насильственной смерти в ядрах происходит энергоинформационный взрыв, порождающий волновой сгусток энергии-торсионное поле. Спины элементов вакуума в окружающем пространстве ориентируются по спинам этого мощного поля, созданного гибнущими ядрами, повторяя его структуру. **Образуется фантом**, который сохраняется очень долго и оказывается привязанным к месту гибели. **Подобные фантомы обнаруживаются и при насильственной смерти человека.**

## Promieniowanie śmierci 5

### Reakcja roślin

**1966-Бакстер Клив (Cleve Backster), США.**

Эксперименты Лепешкина в 70-х годах продолжил американский инженер Бакстер, один из создателей широко известного "детектора лжи", или полиграфа.

опрокидывал чашку с креветкой в кипяток. Рядом стоял все тот же филодендрон с наклеенными на листья датчиками.

Самописец всякий раз при опрокидывании чашки фиксировал эмоциональную кривую: цветок «сочувствовал» креветке.

### Reakcja mikroorganizmów

**Бурлешин Михаил.** Есть открытие, совершенное в одной из лабораторий подмосковного города Пущино учеными-биологами. Они изучали воздействие биополя растения на окружающий мир. Около него ставили баночку с водой, наполненной инфузориями. После этого растение безжалостно кромсали, обрывали листья, прижигали ствол. Инфузории начинали метаться в воде, многие из них гибли.

orzęski

## Promieniowanie śmierci 6

### Pelna informacja o osobie

поступать в мозг его родных и близких. По мнению Манеева, излученная при гибели организма информация содержит абсолютно все сведения о нем, а не только о его гибели. Это позволяет думать о посмертном существовании

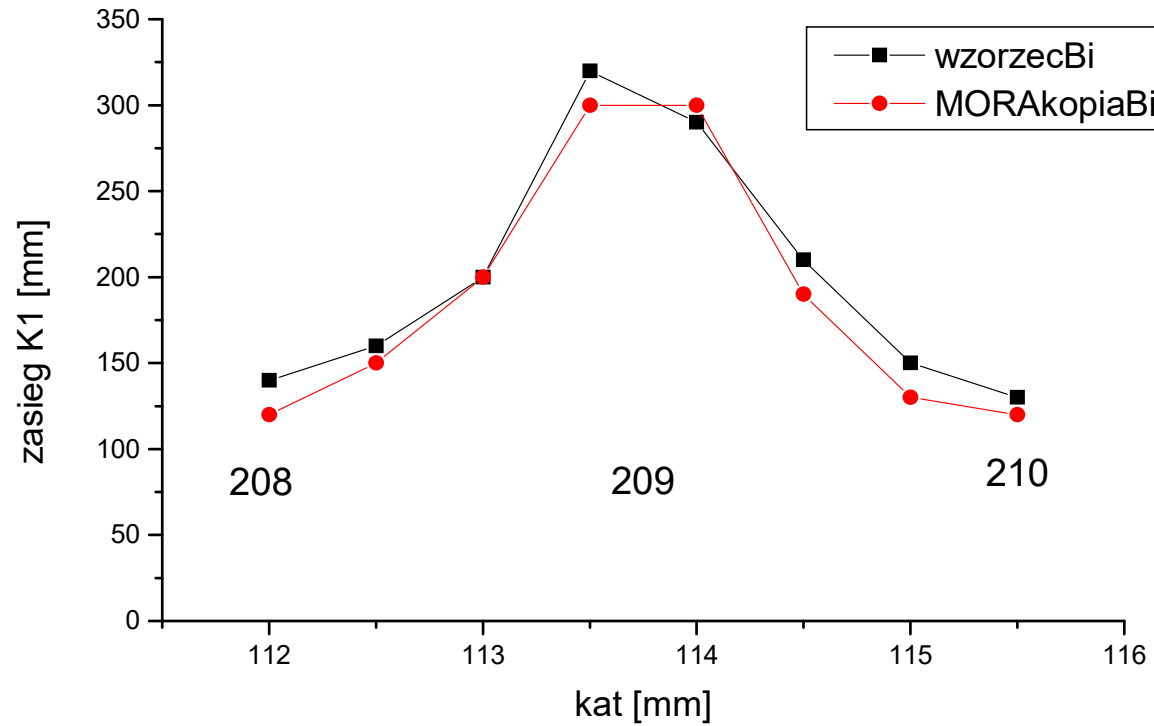
2007-**Костин М.** Исследования некробиологических излучений.  
Вестник биолокации. М. 2007. №27. с.62-66.++

**O promieniowaniu śmierci emitowanym przez człowieka w momencie jego śmierci pisali już filozofowie starożytnej Grecji.**

**Spalanie ofiar na ołtarzu**

## Urządzenie radioniczne MORA

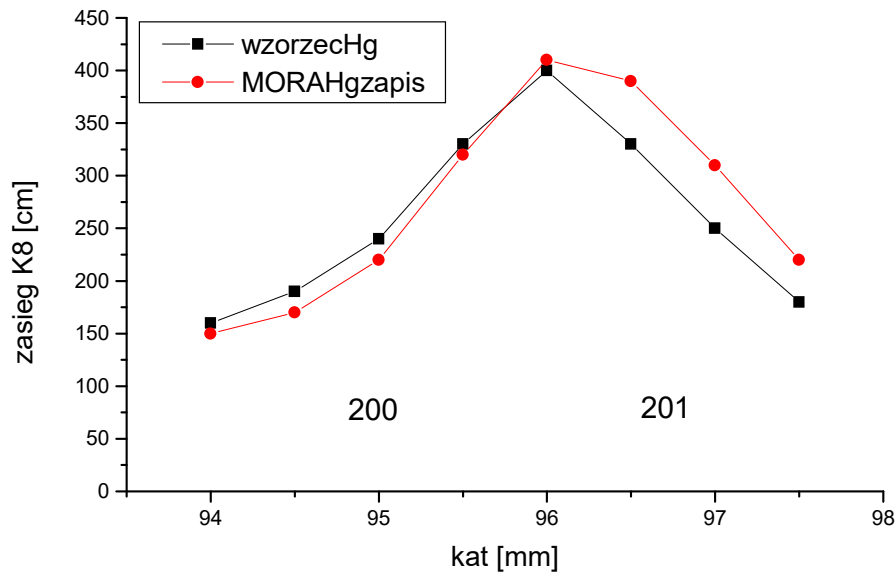
### Kopiowanie próbki



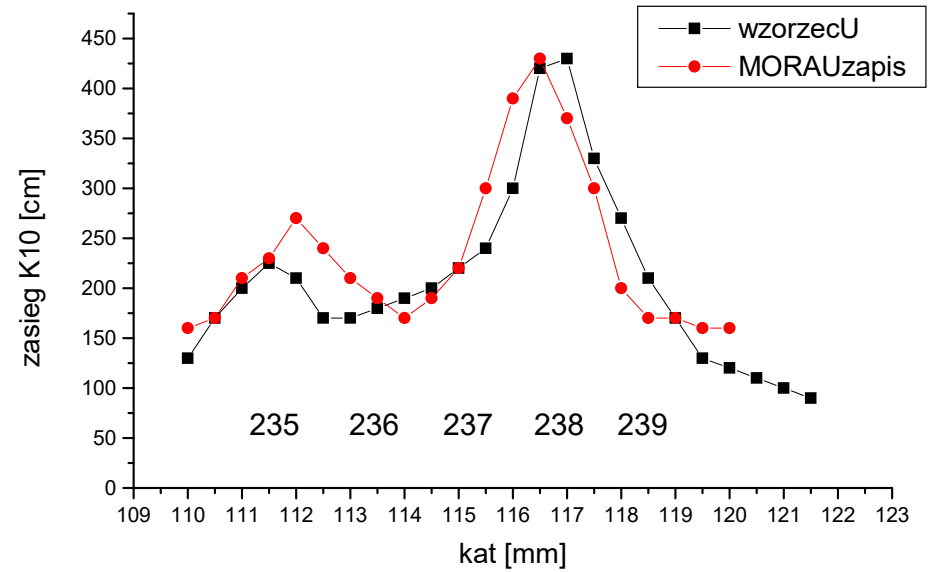
kopia metalicznego bizmutu

# Urządzenie radioniczne MORA

## Pobieranie sygnału z bazy MORA



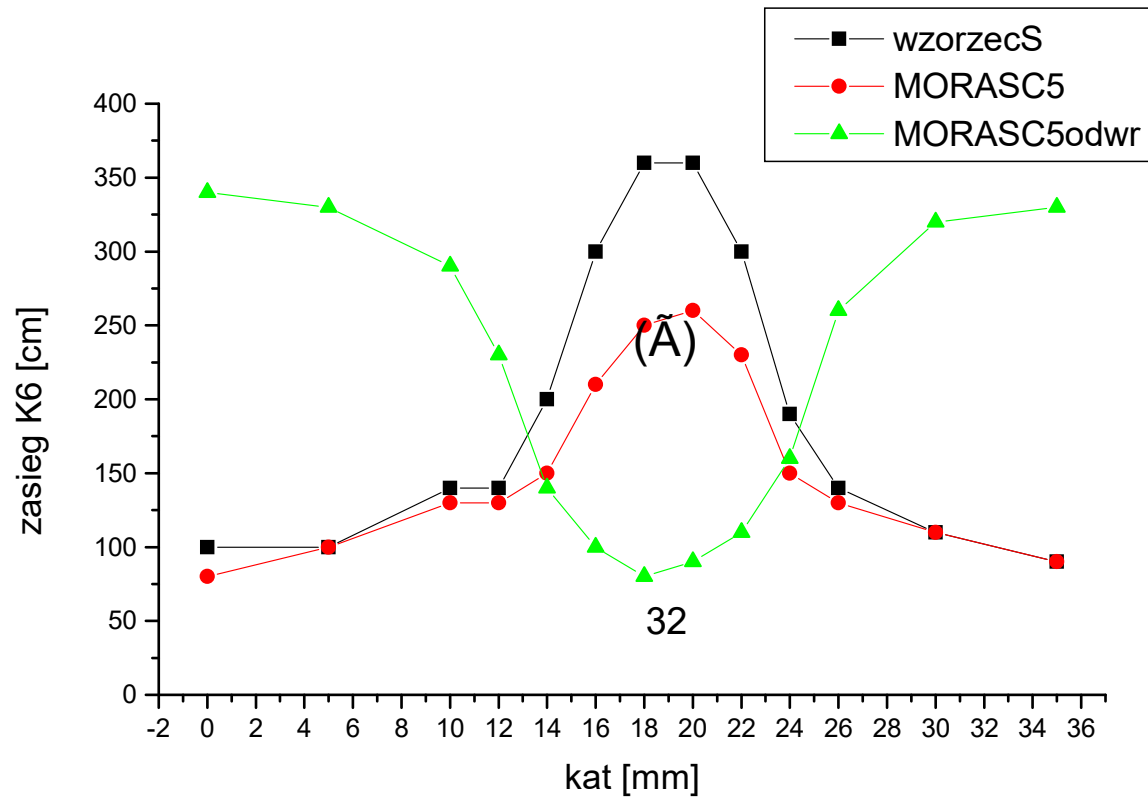
sygnał rtęci



sygnał uranu

# Urządzenie radioniczne MORA

## Odwracanie sygnału, funkcja $\tilde{A}$



Preparat Sulfur C5 odwrócony i nieodwrócony

## Urządzenie radioniczne MORA

W pamięci urządzenia znajdują się **właściwe częstotliwości** preparatów homeopatycznych

Zarówno w przypadku Sulfur C5 odwróconego, jak i nieodwróconego, występuje **równa zawartość lewo i prawoskrętnej polaryzacji**.

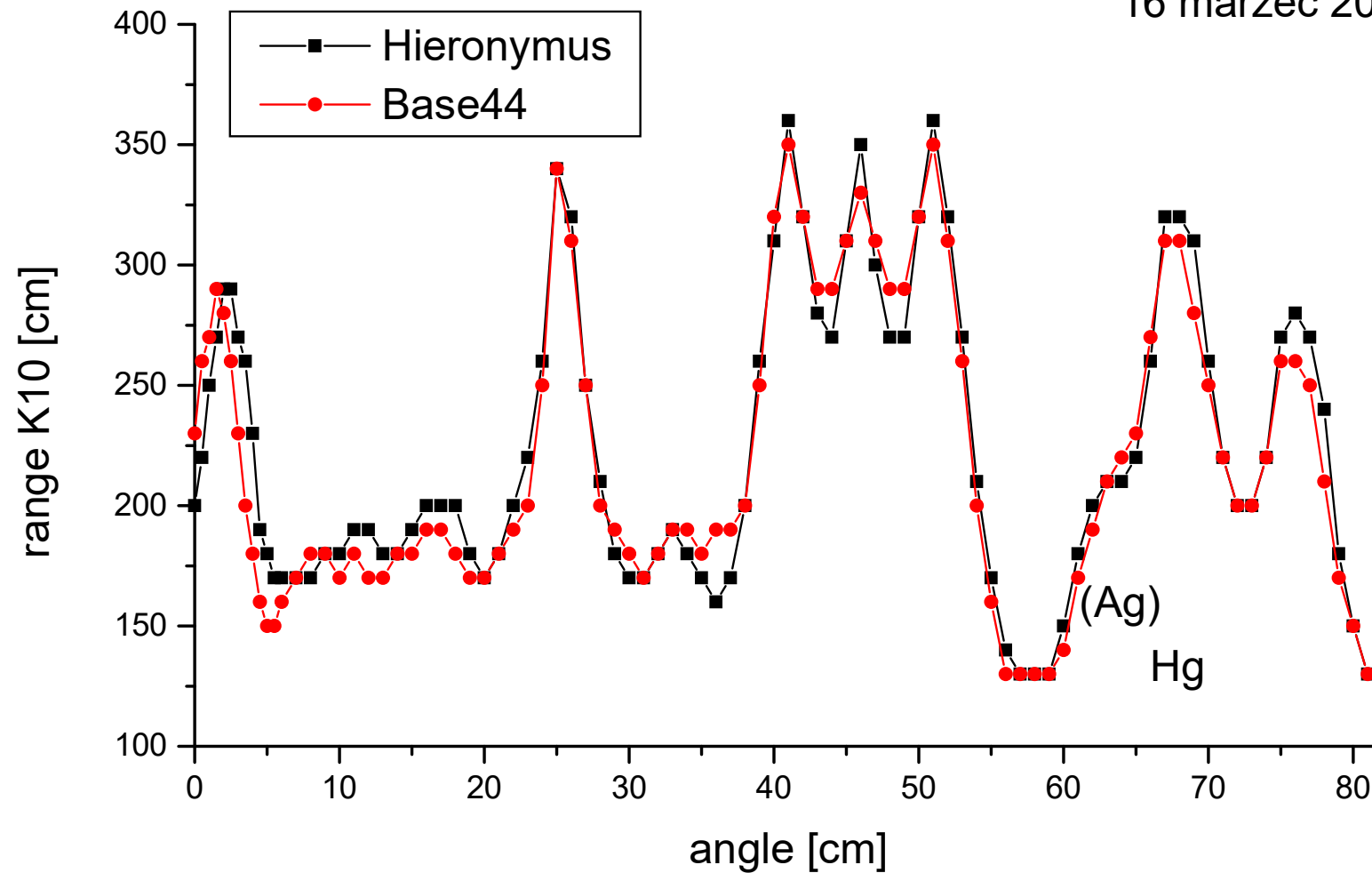
Występuje **rozmycie informacji po wszystkich kolorach** z pewnym maksimum, ale nie odpowiadającym kolorowi próbki wzorcowej.

Kopiowanie daje właściwe częstotliwości preparatów homeopatycznych.

# Klasyczne urządzenia radioniczne z wieloma potencjometrami

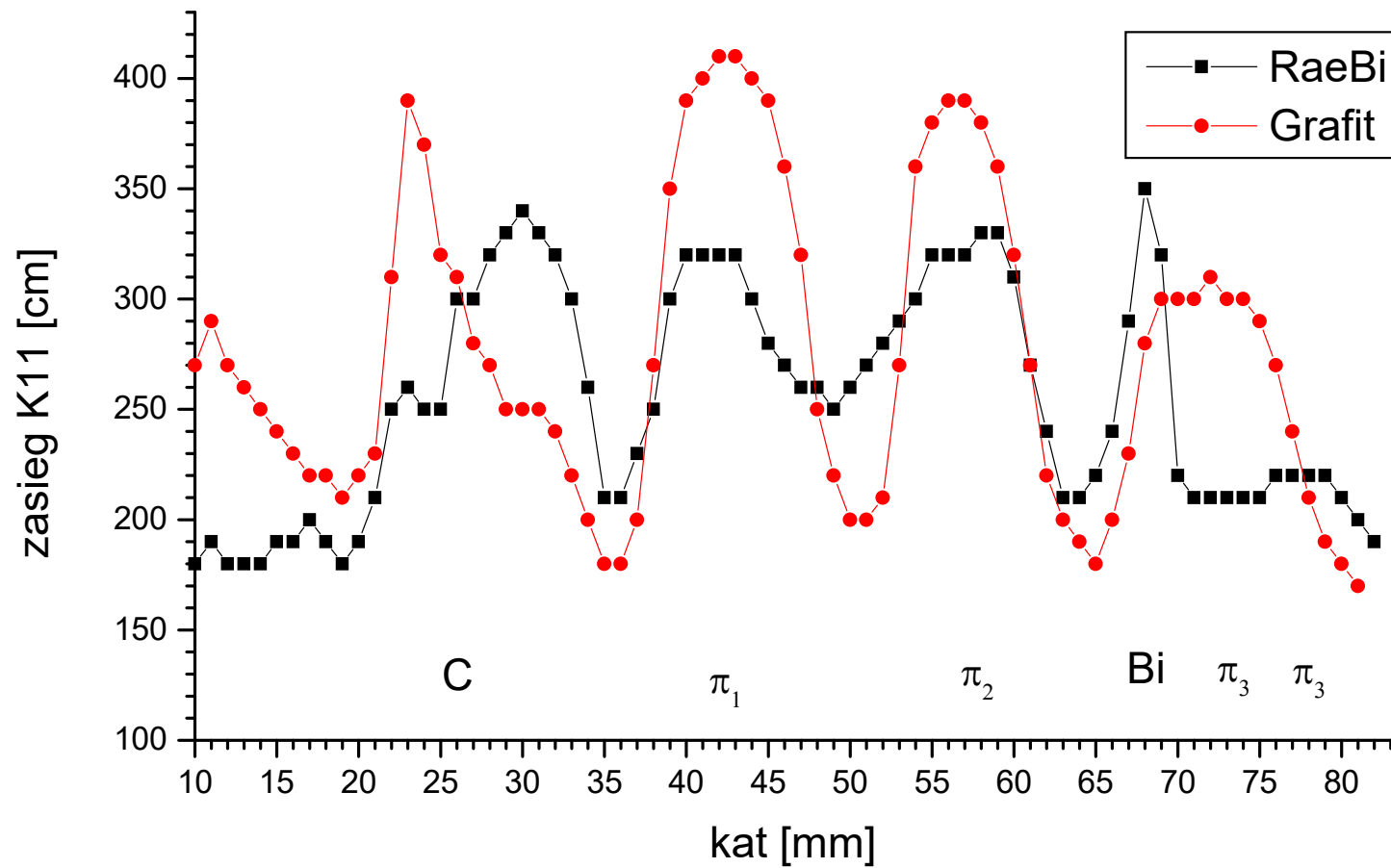
## Zaraza grafitowa

16 marzec 2017



# RAE Extended range potency simulator B (England)

27 październik 2016



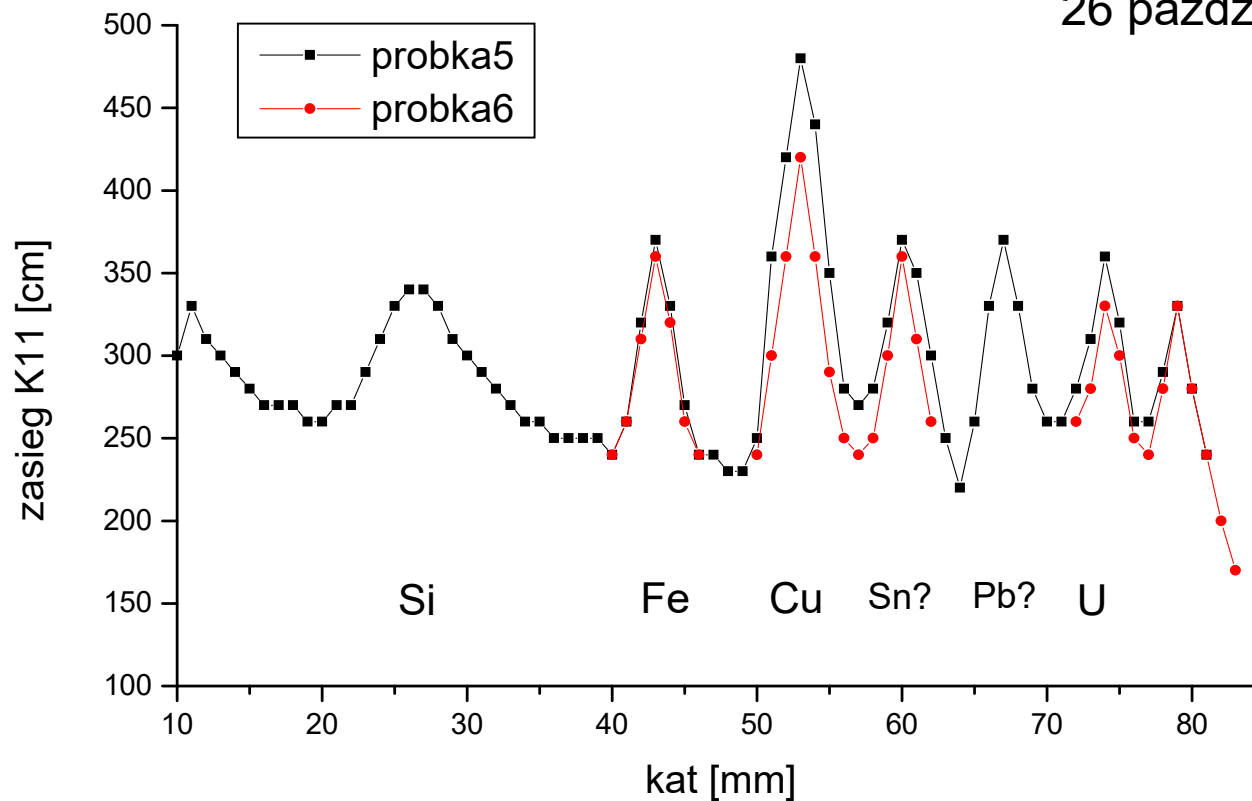
## Wszystkie urządzenia oparte na potencjometrach węglowych infekują grafitem



	próbka 20ml	infekcja do 9ml 120s	infekcja do 9ml 15s	infekcja do 9ml 3s
	zasięg K10	zasięg K10	zasięg K10	zasięg K10
Medea	330	110		
MED Org	300	90		
Rae	280	110		
Hier	250	230	200	150
B44	290	240	210	130

# Urządzenie Time Weaver

26 październik 2015



Zapisana informacja z metalicznego żelaza

## Urządzenie Time Weaver

### **Chiralność**

- próbka z kąta 43mm x4 L - K11 240cm
- próbka z kąta 43mm x4 D - K11 230cm

**Kolory rozmyte**, chiralność - **obie polaryzacje**, brak rezonansu Fe,  
**zanieczyszczenia od elektroniki.**

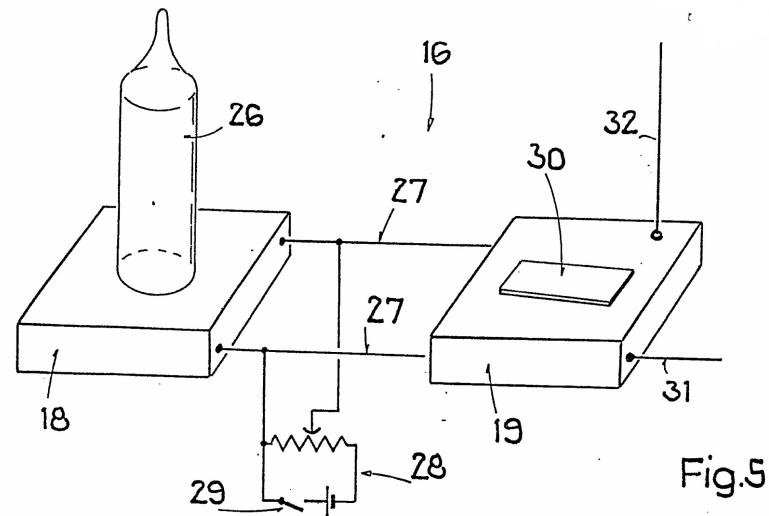
## Trzeba zachować ostrożność przy korzystaniu z komercyjnych urządzeń radionicznych

Na co możemy trafić:

1. Infekcja sygnałem grafitu
2. Sygnał krzemu, miedzi i cyny z elektroniki
3. Przeładowanie informacyjne
4. Stymulacja punktów akupunkturalnych podczas diagnozy
5. Fikcyjna diagnostyka

# Zjawiska

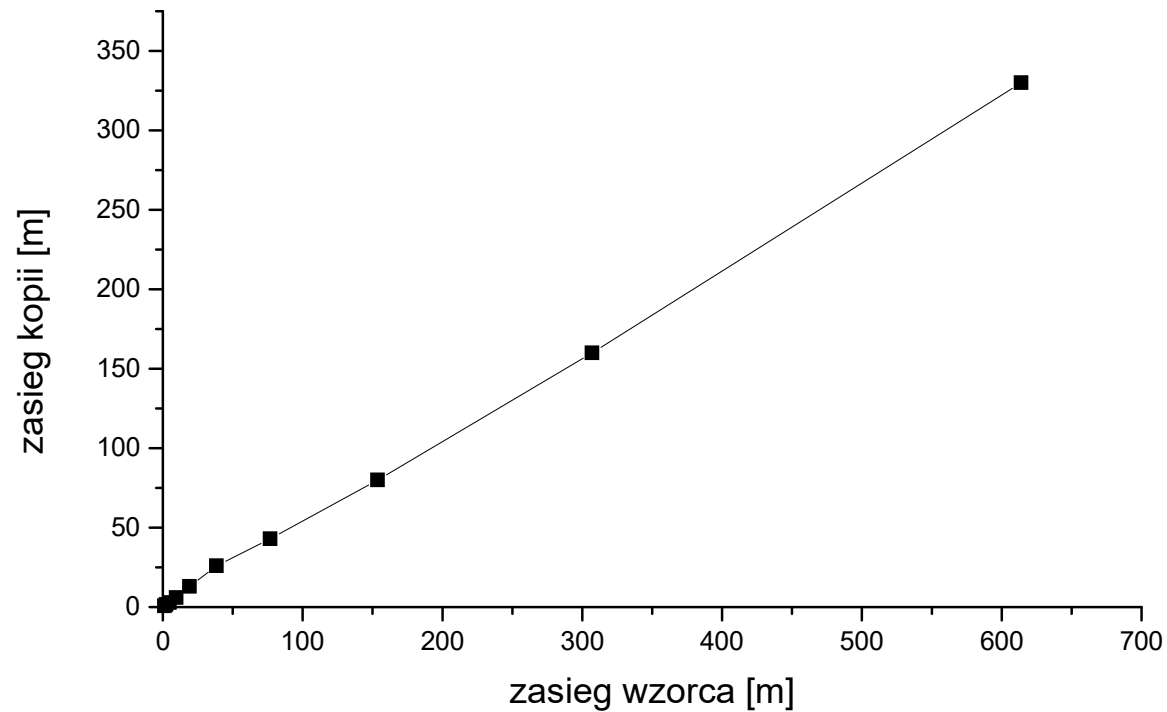
## Transport informacji homeopatycznej przez przewody

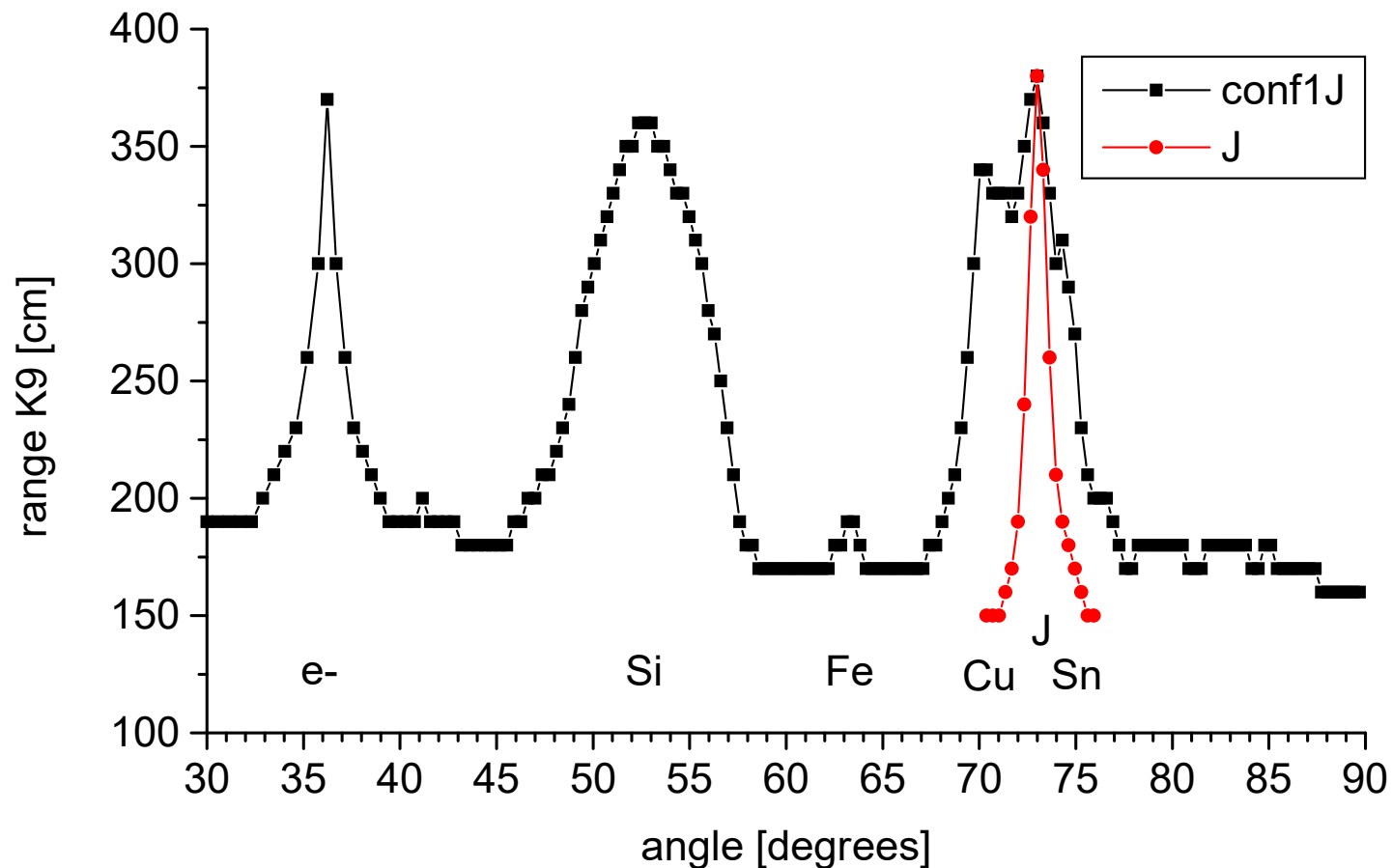


Cząstki pola torsyjnego przenoszone są **albo przez falowód** którym może być izolowany przewód elektryczny bez odkrytych połączeń **albo przez przewody z płynącym prądem** na cząstkach odpowiedzialnych za przepływ prądu: elektrony? fotony?

# Zapis informacji homeopatycznej na komputerze

**Dynamika zapisu preparatów homeopatycznych**  
laptop Toshiba zapis 1min z pudełka  
Wzorzec Bizmut, zasięg 240cm

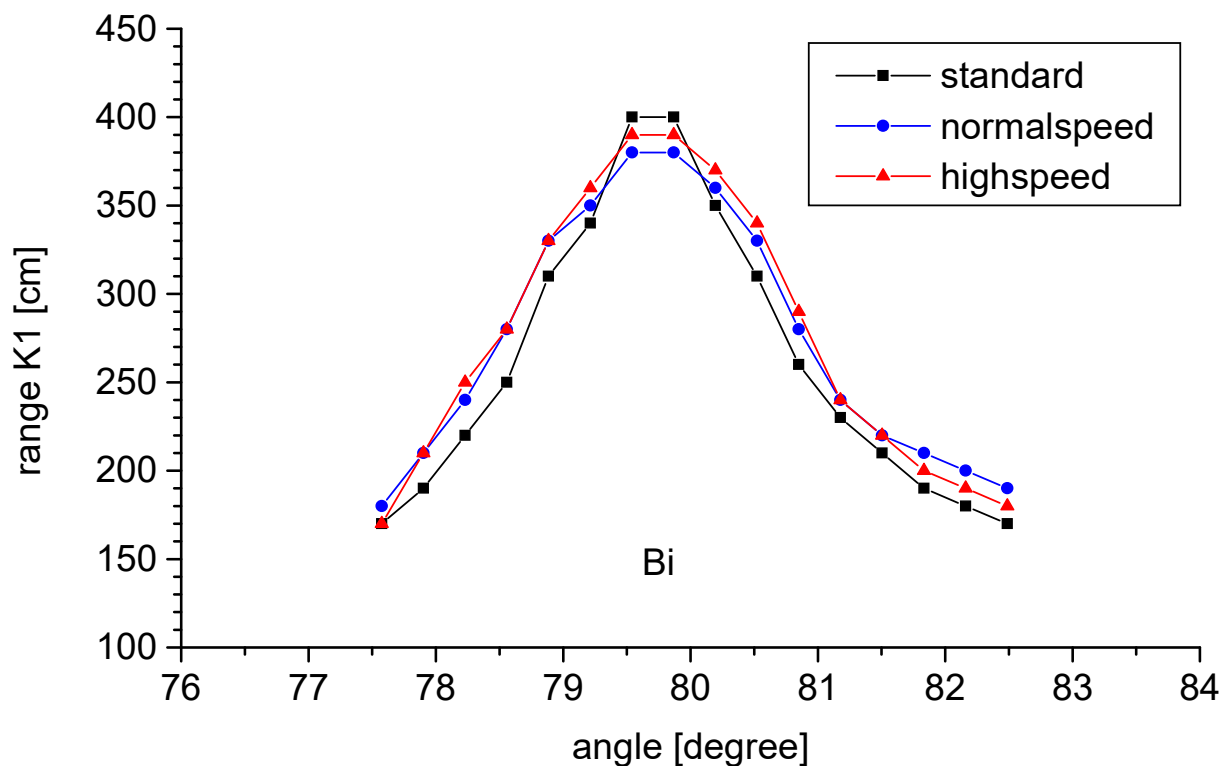




**Sygnal jodu** zapisany przez kanał dźwiękowy na komputerze Toshiba NB520-10R z użyciem wyjścia mikrofonowego podłączonego do elektrod z ustawionym na nich preparatem homeopatycznym jodu o zasięgu promieniowania K9 z fiolki wynoszącym 300cm, wykonanym z użyciem akceleratora cząstek pól torsyjnych. Sygnal został odtworzony z użyciem wyjścia słuchawkowego podłączonego do <sub>37</sub> elektrod z umieszczoną na nich fiolką z wodą

# Natura zapisanej na komputerze informacji homeopatycznej

Informacja homeopatyczna bizmutu zapisana i odtworzona na laptopie Dell.  
Czy dwukrotne przyspieszenie odtwarzania przesunie sygnał spektroskopowy bizmutu?

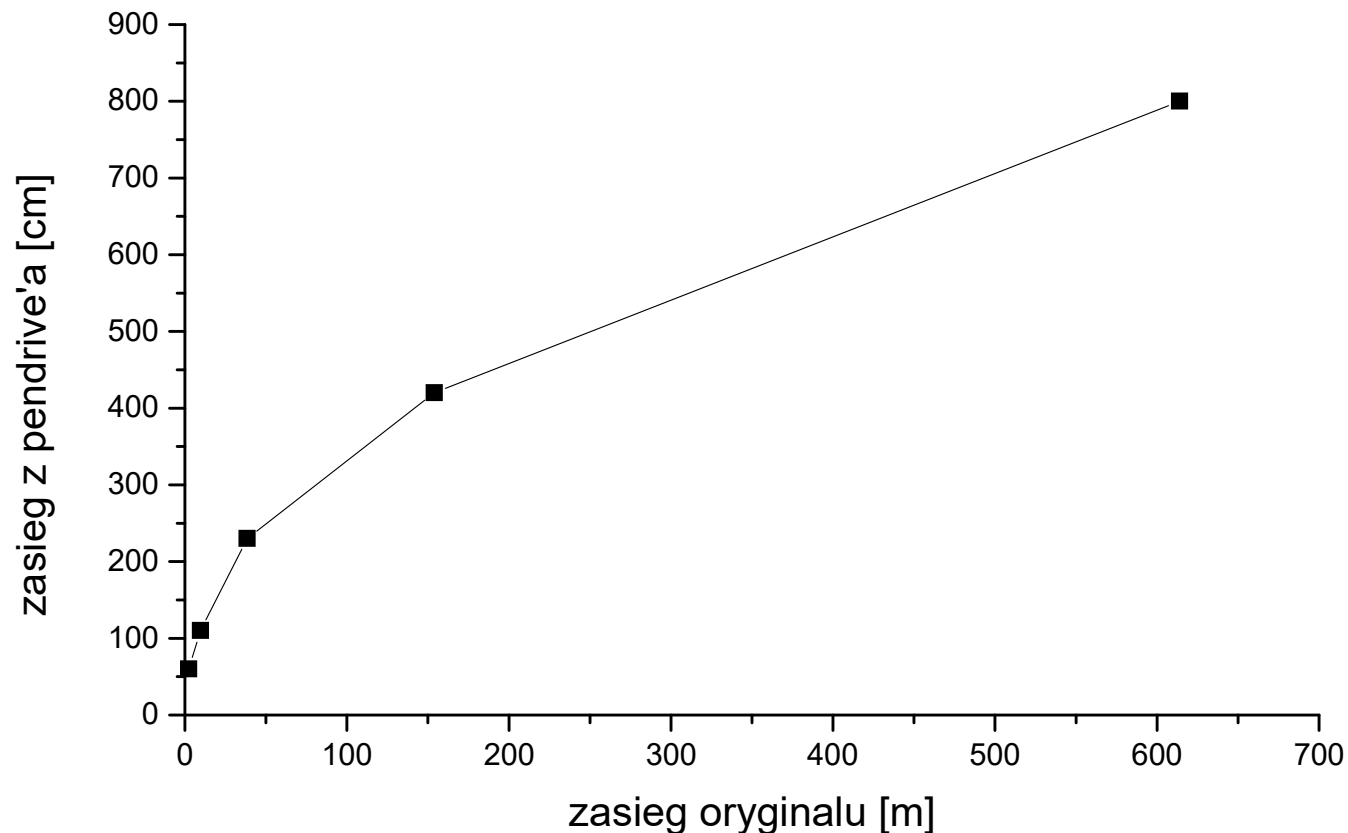


**Sygnał bizmutu jest w tym samym miejscu i właściwym dla wzorca nie nagrywanego.**

## Promieniowanie pen-drive'a

Nagrany sygnał z laptopa Toshiba. Po kolei nagrywanie, pomiar promieniowania bezpośrednio z pendrive'a, kasowanie polem, kasowanie pliku. Pendrive 8GB Emtec

- szum pen-drive'a po kasowaniu zerowym polem magnetycznym K1 30cm



## Przesyłanie sygnału pocztą elektroniczną

Z pomiaru wysokości pików niklu w plikach przed wysłaniem i po ich powrocie z Francji wynika następujący stosunek uzyskanych wartości:

$$\text{Ni1Francja/Ni1} = 0,54$$

$$\text{Ni10Francja/Ni10} = 0,79$$

$$\text{Ni100Francja/Ni100} = 0,97$$

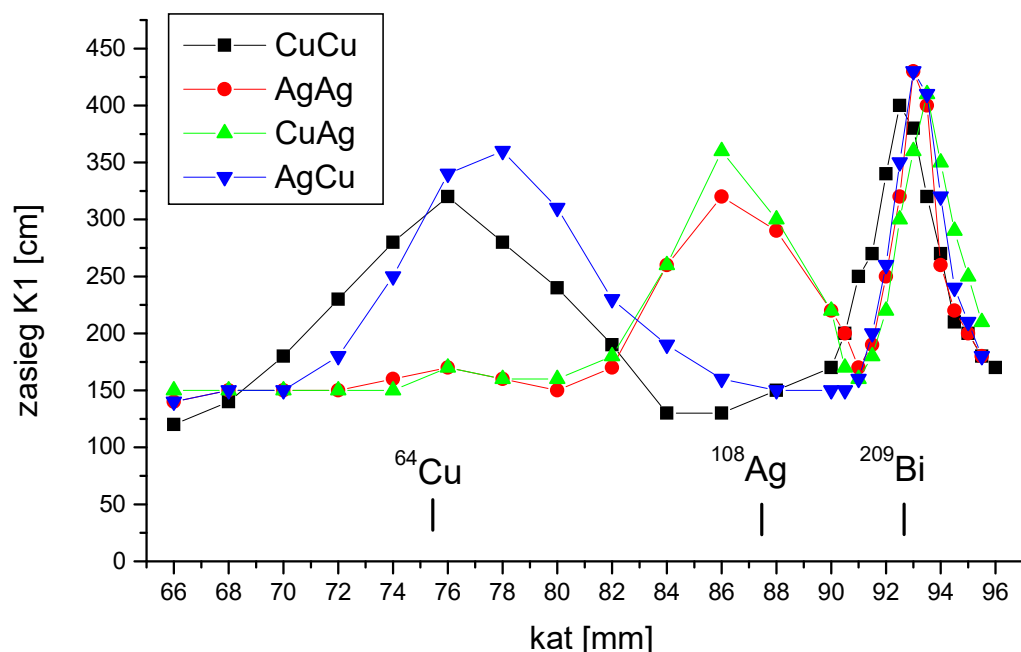
**Występuje strata amplitudy sygnału, stosunkowo duża dla małych sygnałów**

## Cząstki pola torsyjnego w układach cyfrowych mają postać analogową

1. Spadek sygnału przy przesyłaniu pocztą elektroniczną
2. Niezależność częstotliwości od szybkości odtwarzania
3. Promieniowanie cząstek pola torsyjnego z komputera i pen drive'a

## Zapisywanie informacji homeopatycznej na komputerze: wpływ materiału elektrody na dodatkowy sygnał metalu

Bi wzorzec x4, podświetlony naturalnie promieniowaniem z ziemi, na komputer 5min, z komputra 5min na 20% alkohol x2,8 (K1 220cm)  
elektroda odbiorcza - elektroda nadawcza

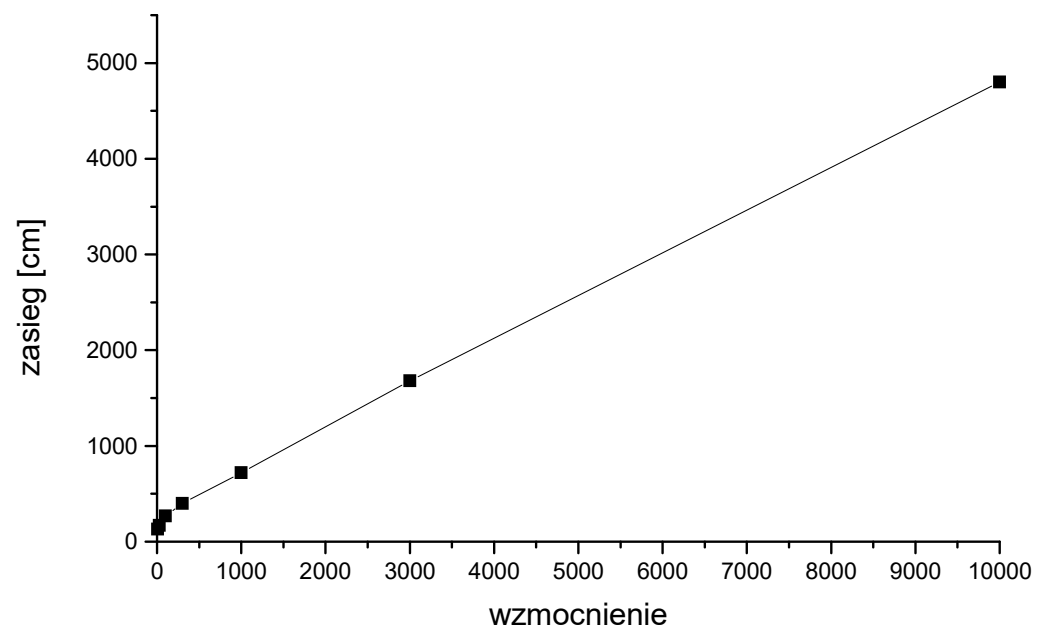
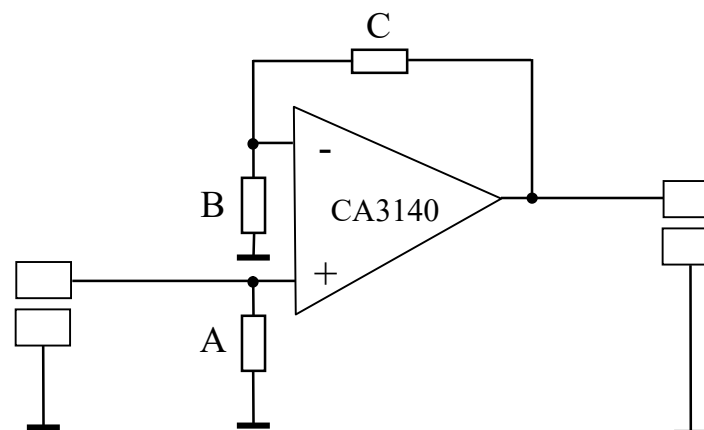


**Dodatkowy sygnał wprowadza elektroda nadawcza, a odbiorcza nic nie wprowadza.**

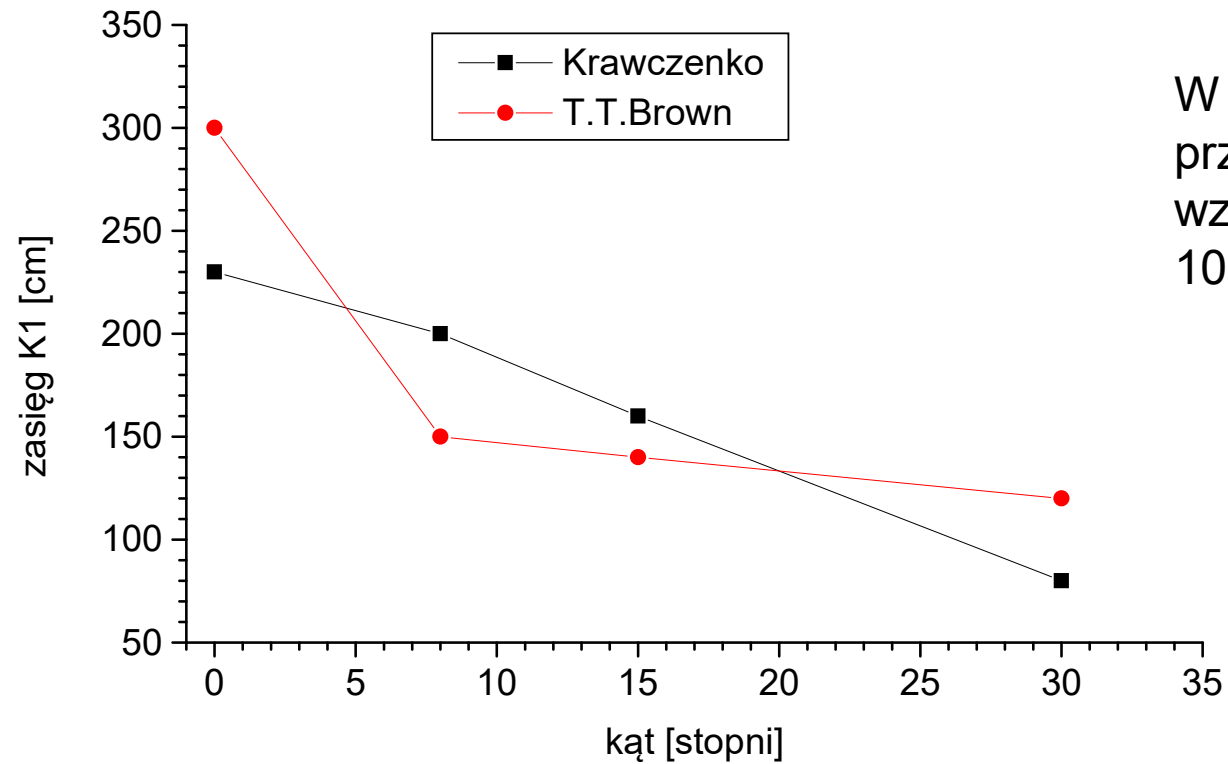
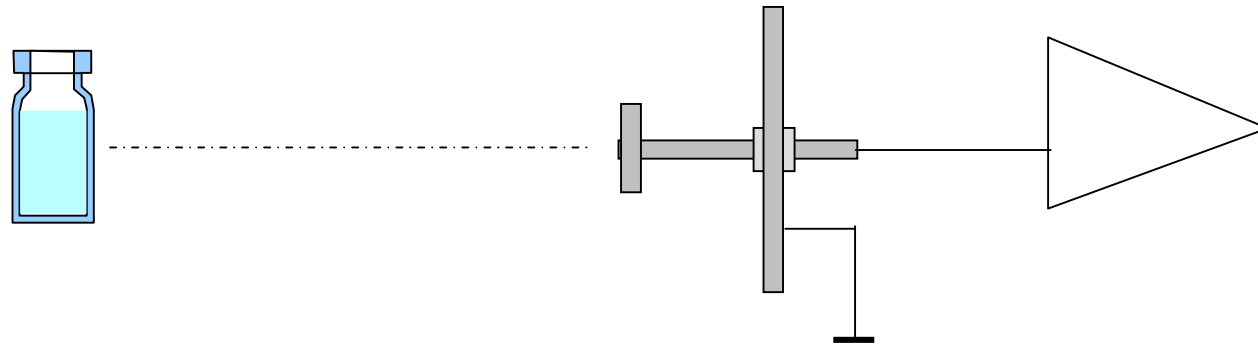
**W zapisie komputerowym nie ma więc informacji o elektrodach.**

# Wzmacniacz operacyjny na tranzystorach MOSFET

(2015)



# Antena według Igora Krawczyenki

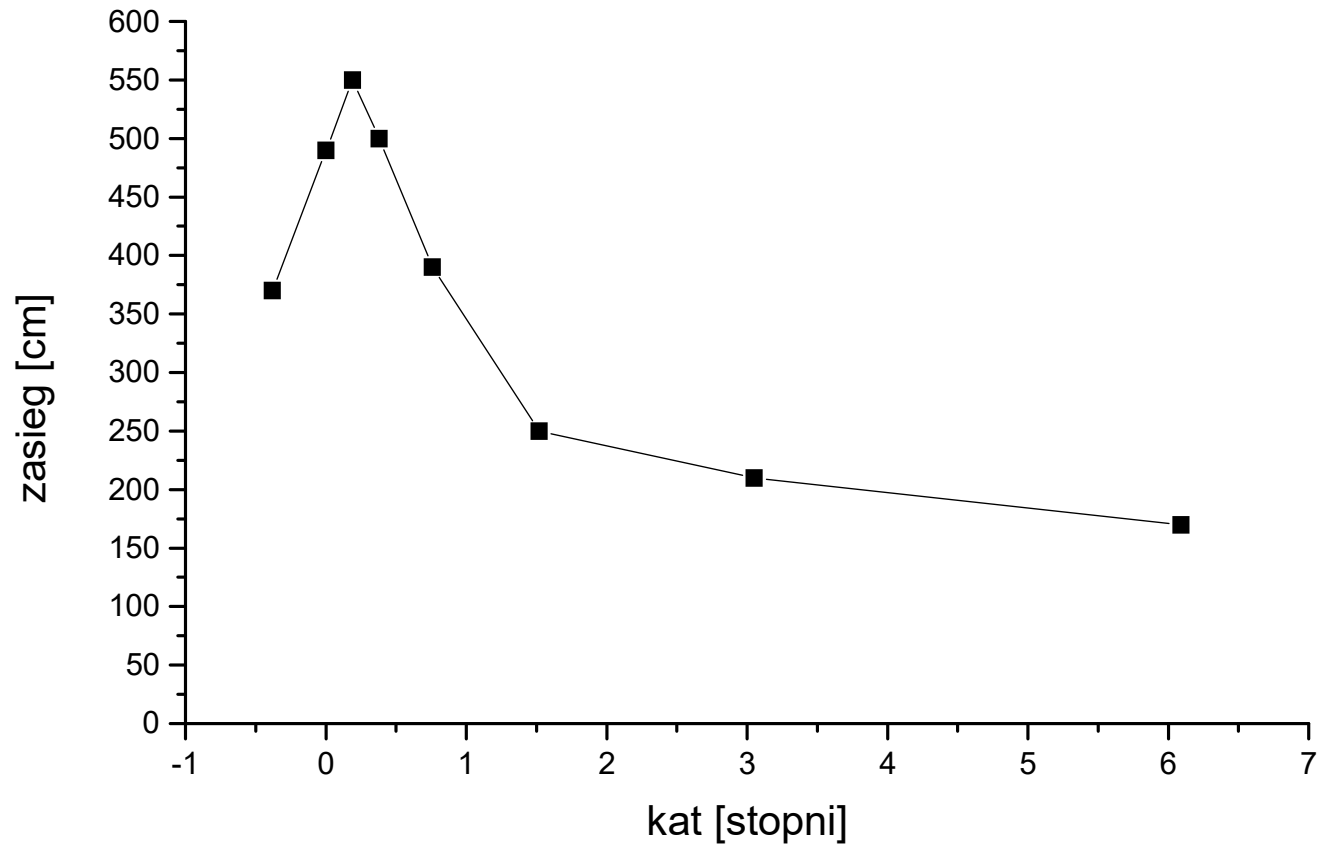


W obydwu przypadkach:  
wzmocnienie 3000x,  
100k/33Ω, Bi x2, 20s

## Antena typu kondensator asymetryczny T. T. Browna

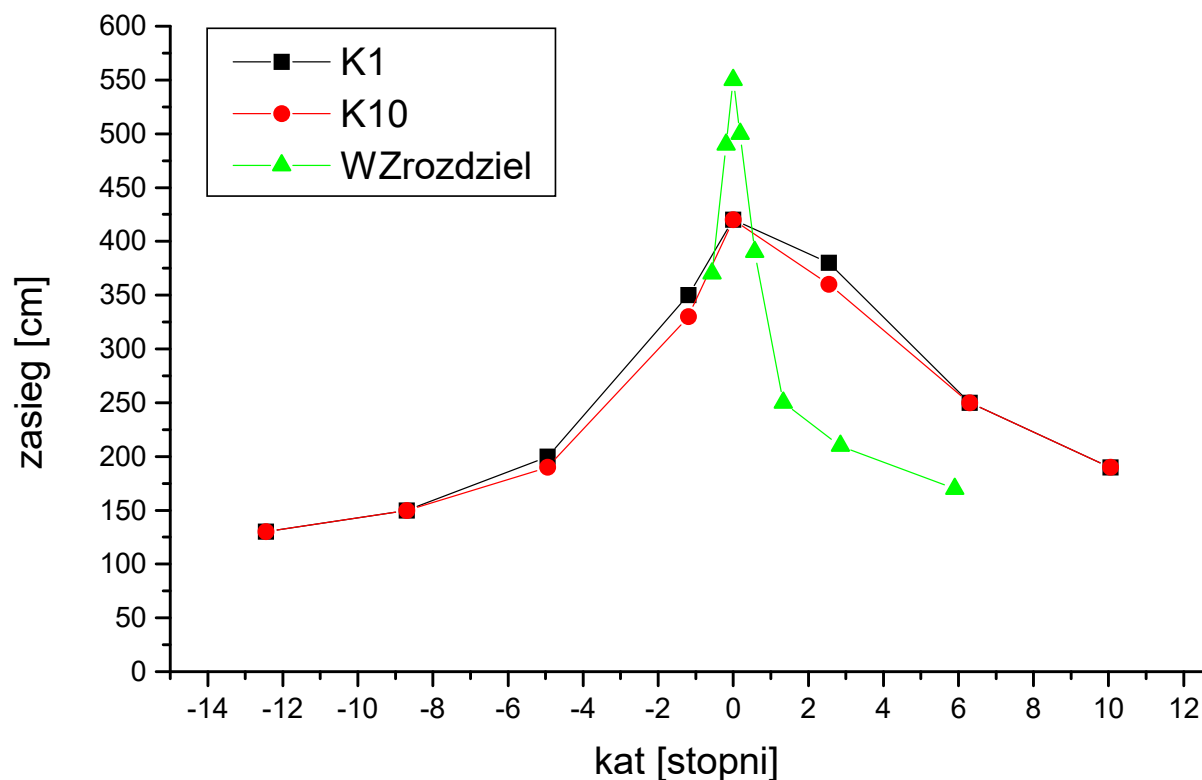
Antena pręt miedziany  $\varphi 5 \times 400$  przed ekranem miedzianym  $5 \times 80 \times 100$   
z otworkiem  $\varphi 2$ , wzmacniacz jak poprzednio CA3140, 3000x

(2015)



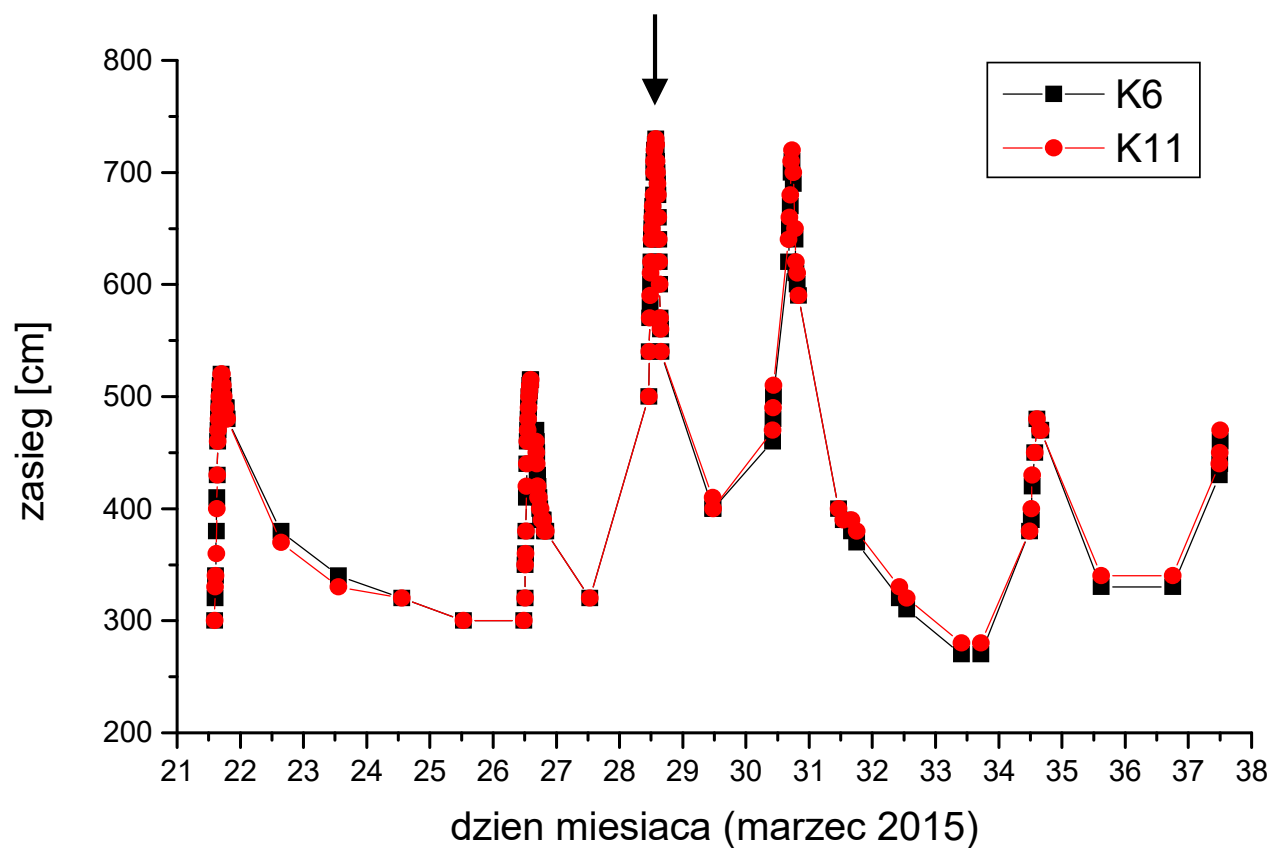
## Antena typu kondensator asymetryczny T. T. Browna

Pomiar sygnału z południowego wschodu 28 marca 2015

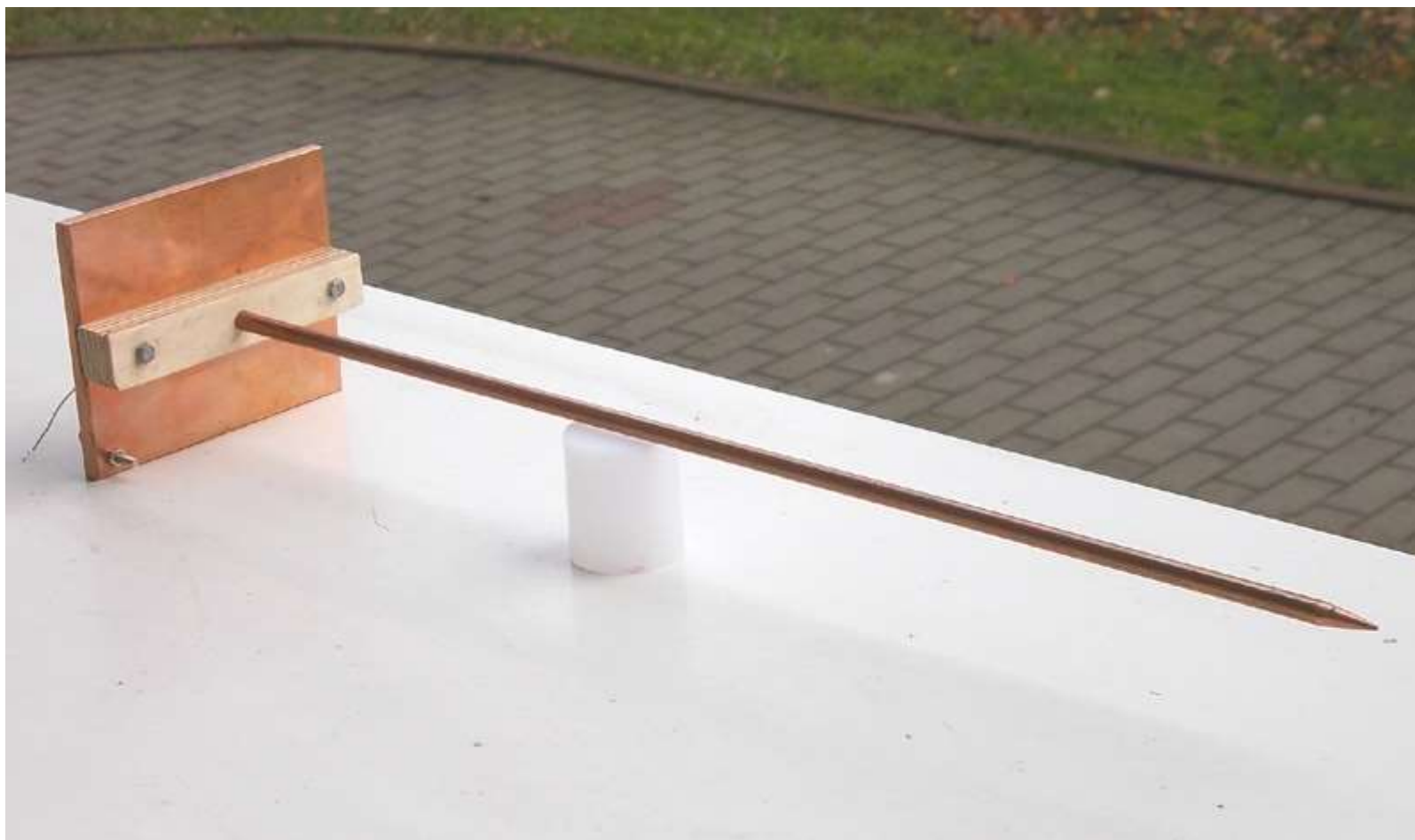


Rozmycie kątowe sygnału SE jest kilkakrotnie większe niż w przypadku wzorca rozdzielczości anteny.

Promieniowanie pola torsyjnego z południowego wschodu (Ukraina). Zasięg promieniowania dotyczy próbek wody na którą zostało przeniesione pole z tego kierunku z użyciem akceleratora. Poziom 180cm odpowiada normalnemu poziomowi promieniowania tła.

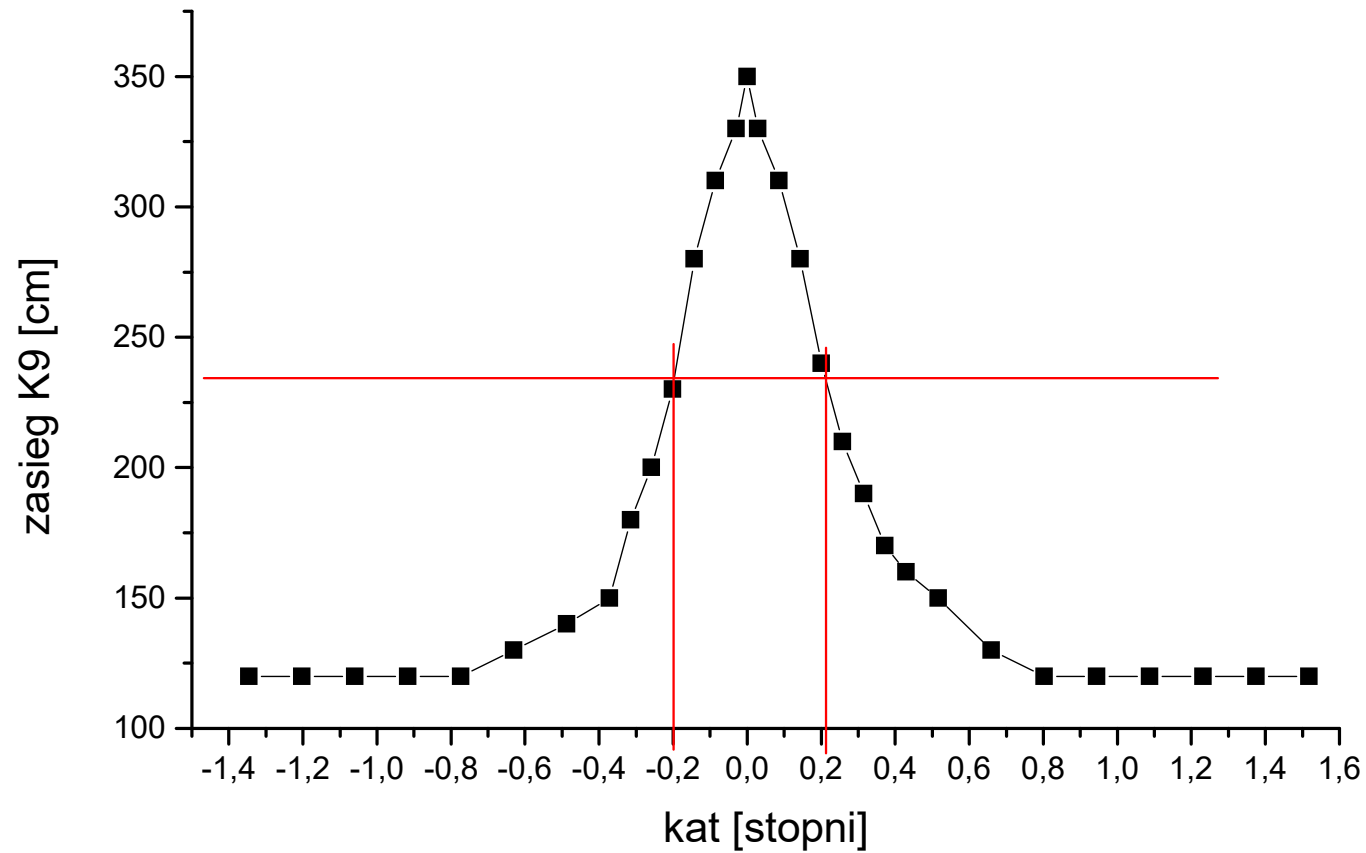


## Antena z czubkiem



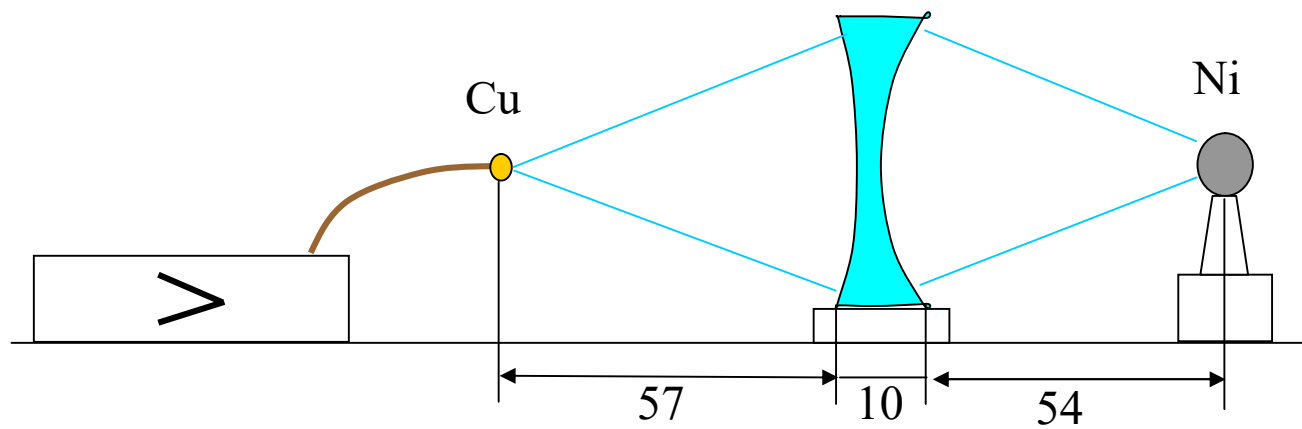
## Antena z czubkiem

wzmocnienie 3000x, 20s, aluminium z odległości 200cm

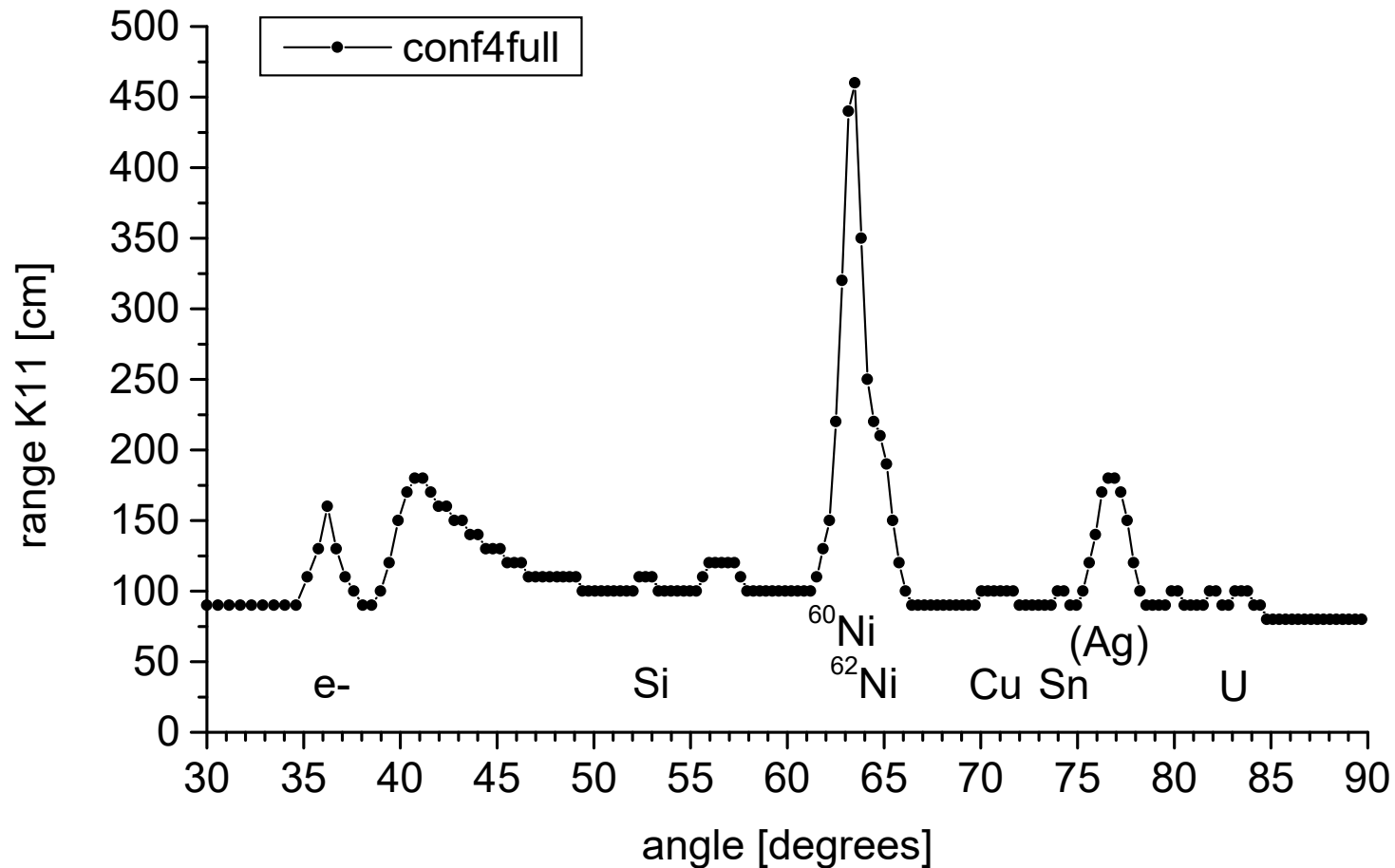


**Rozdzielczość kątowna anteny z czubkiem**

## Wzmacniacz pola torsyjnego HF

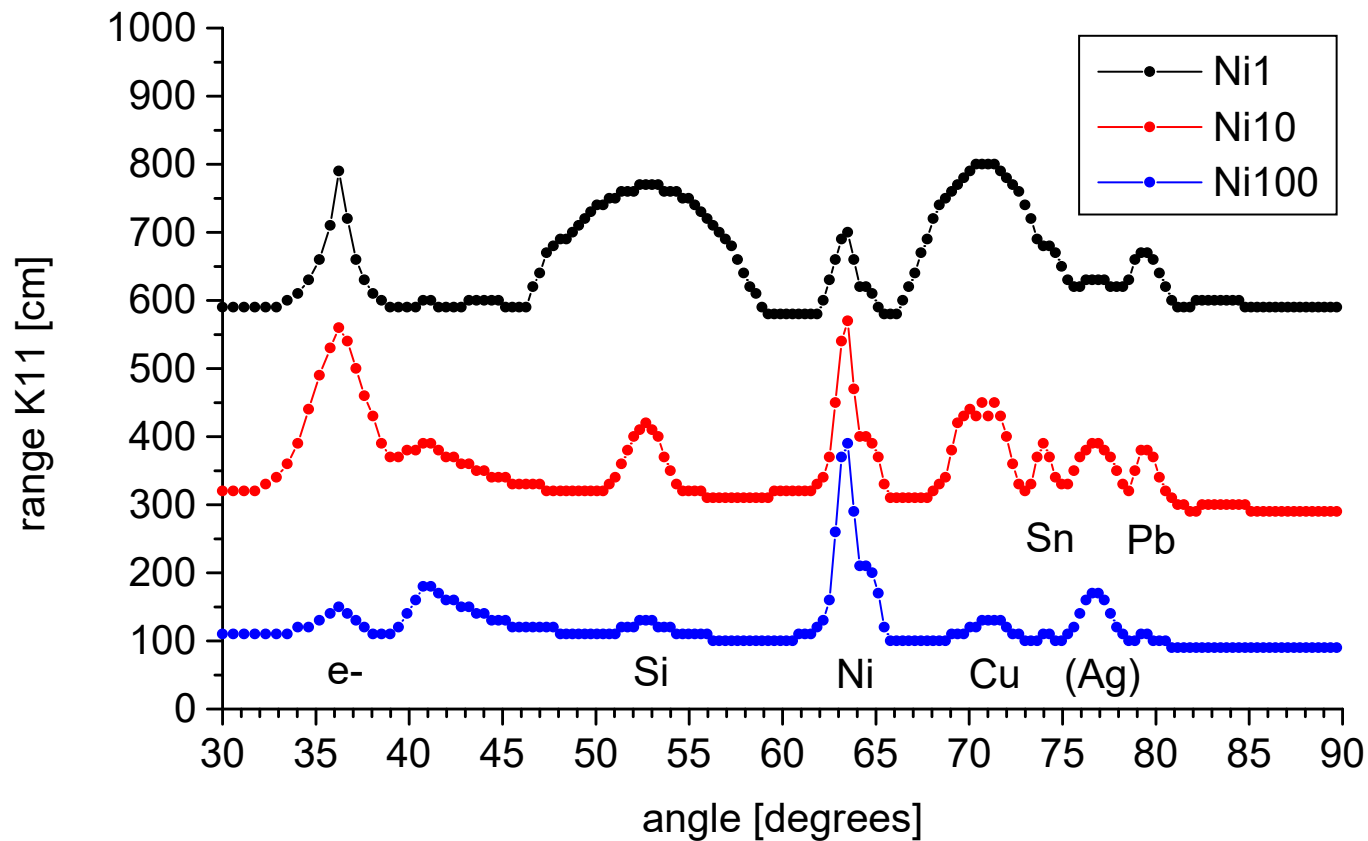


## Zapisywanie na komputerze sygnału z sondy



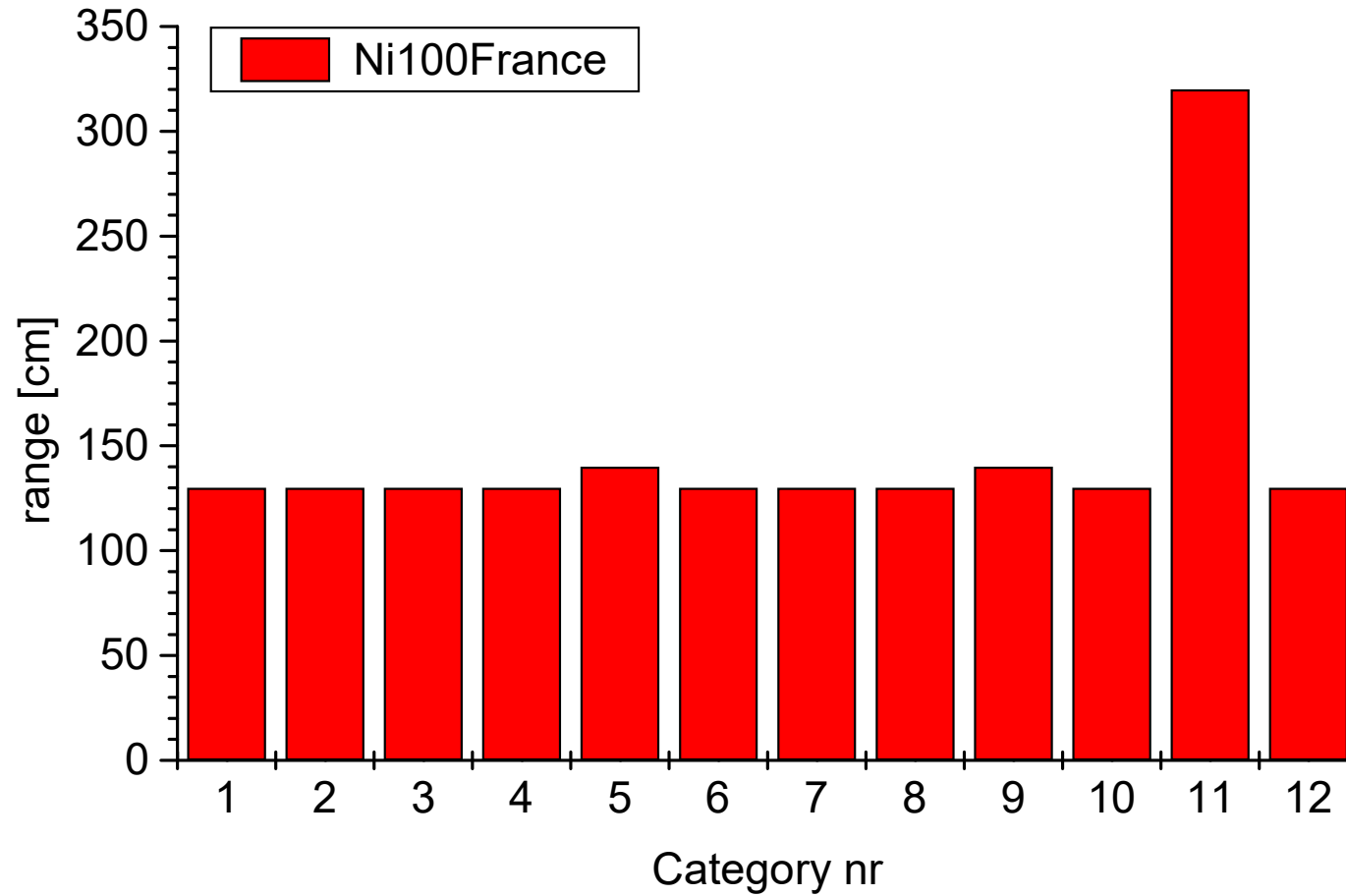
Sygnał z kulki niklowej zapisany na komputerze przy 10-krotnie zwiększonej intensywności i z zastosowaniem kilku modyfikacji układowych.

## Sygnal niklu przesłany do Francji i z powrotem



Sygnal niklu przesłany pocztą e-mail na trasie Polska-Francja-Polska. Na wykresie Spektrum sygnału Ni1, który wrócił z Francji zostało przesunięte o 400cm a sygnału Ni10 z Francji o 200cm, względem sygnału Ni100 z Francji. Sygnal Ni100 (wzmocniony 100-krotnie) po powrocie wykazywał zawartość sygnału elektronów na poziomie 14%, a pozostałych zakłóceń na poziomie mniejszym od 10% względem sygnału niklu.

## Spektrum Kategorii po powrocie nie zostało rozmyte



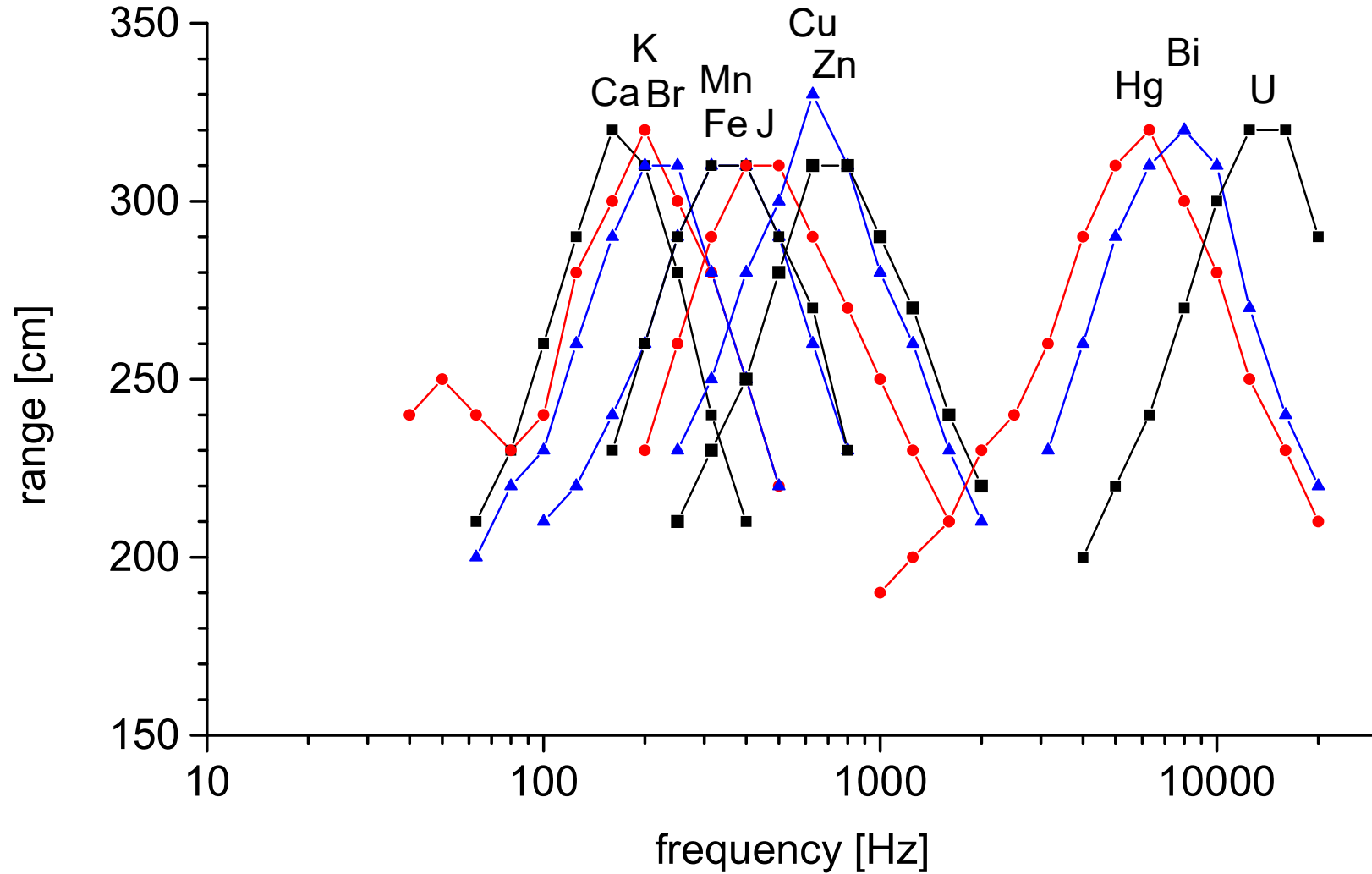


Zdjęcie sondy do odbioru sygnału wysokiej jakości wraz z equalizerem

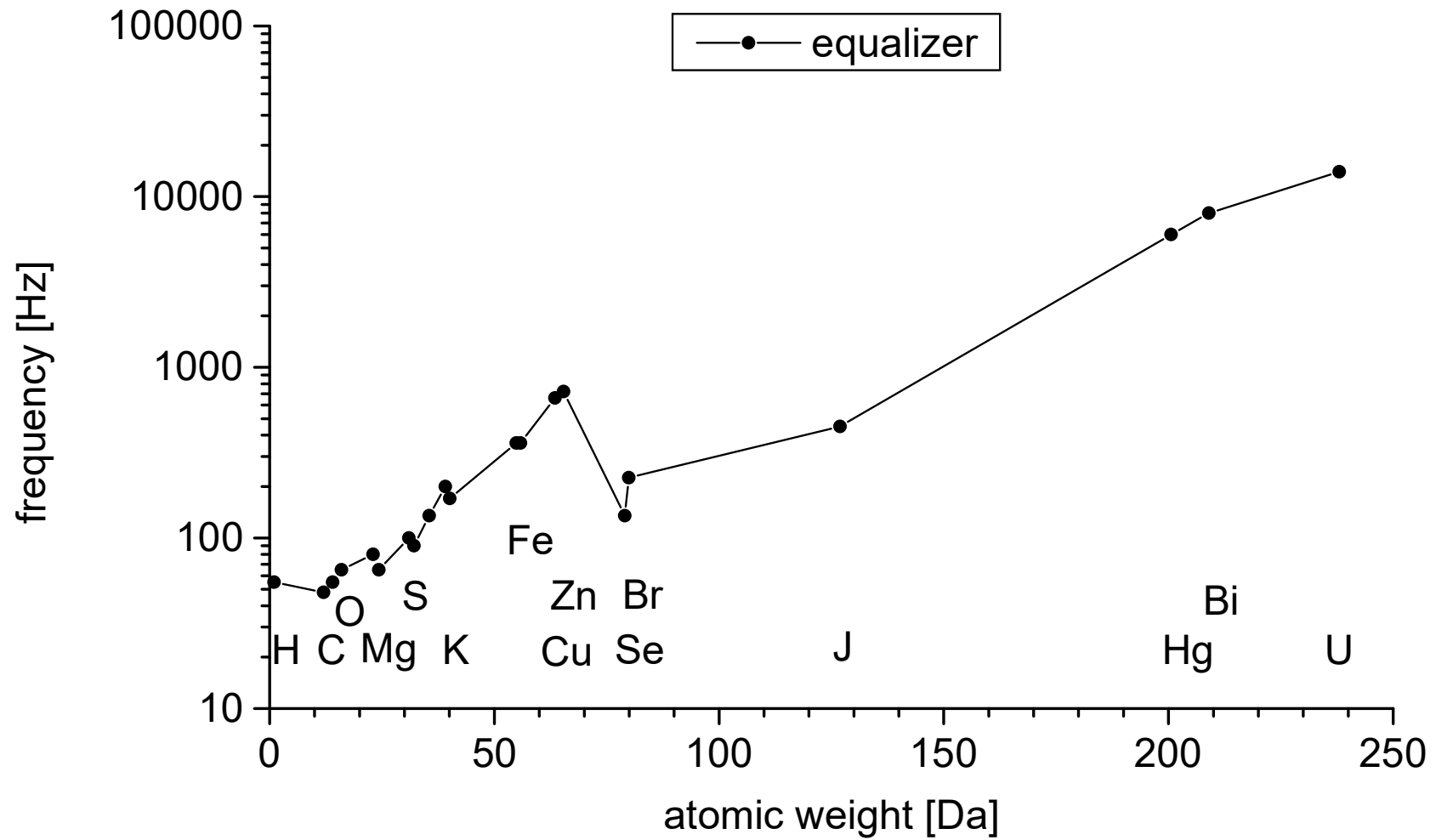
## Łapacz cząstek pola torsyjnego



# Filtracja pierwiastków equalizerem



## Zależność częstotliwości od masy atomowej



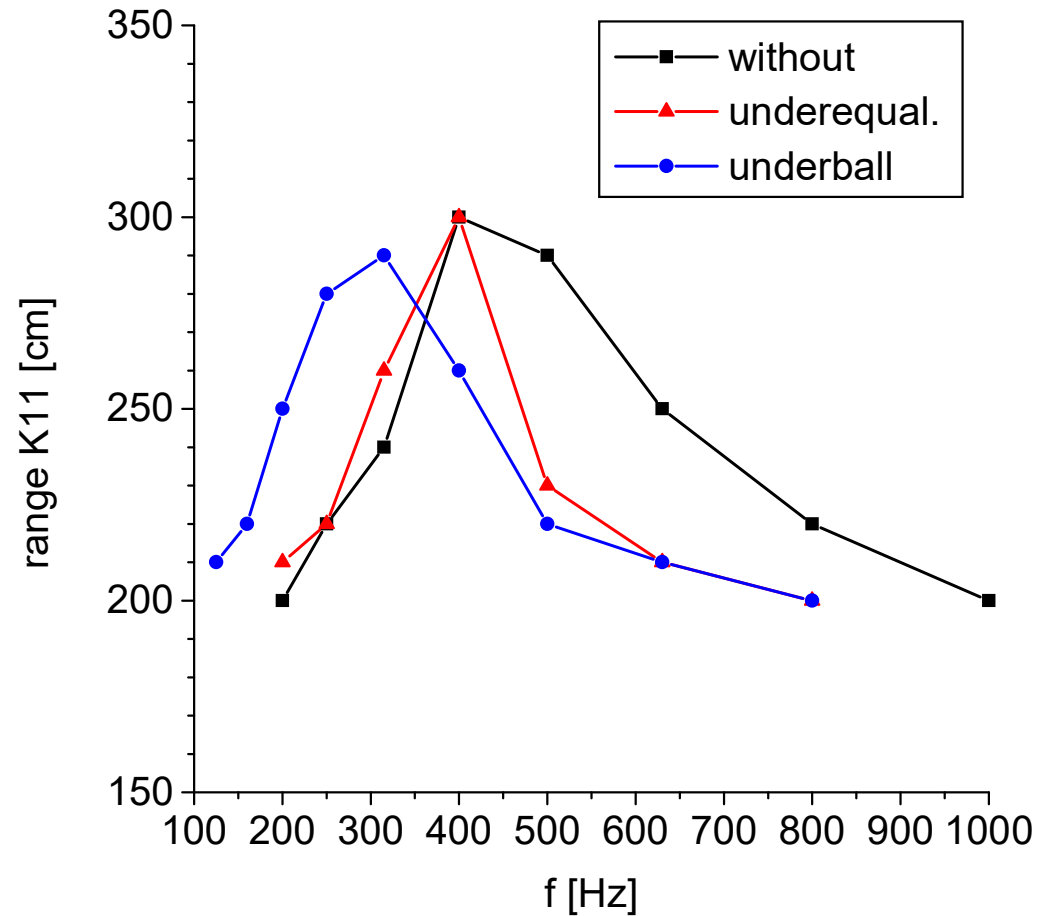
## Położenie pierwiastków na spektrum częstotliwości

pierwiastek	masa atomowa	f [Hz]
e <sup>-</sup>		28
p	1	30
n	1	33
C	12,0	48
H	1,0	55
N	14,0	55
Mg	24,3	65
O	16,0	65
Na	23,0	80
S	32,1	90
P	31,0	100

pierwiastek	masa atomowa	f [Hz]
Cl	35,5	135
Se	79,0	135
Ca	40,1	170
K	39,1	200
Br	79,9	225
Fe	55,8	360
Mn	54,9	360
J	126,9	450
Cu	63,5	660
Zn	65,4	720
Hg	200,6	6 000
Bi	209,0	8 000
U	238,0	14 000

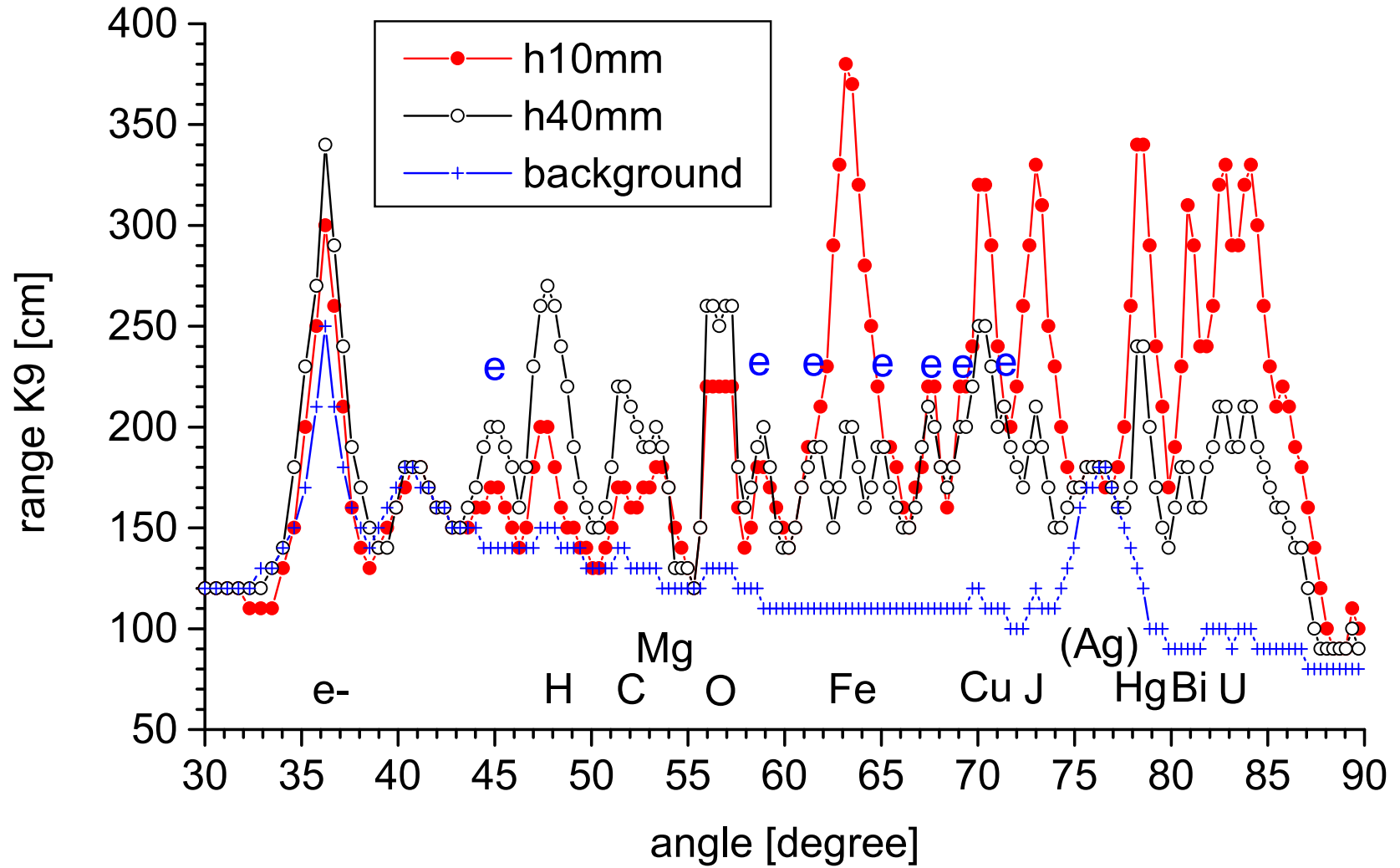
**(115) 17 300 Hz 58**

## Niestabilność częstotliwości



Przesunięcie sygnału od kulki niklowej po zastosowaniu ekranu pola torsyjnego

# Spektrum sygnału z mózgu

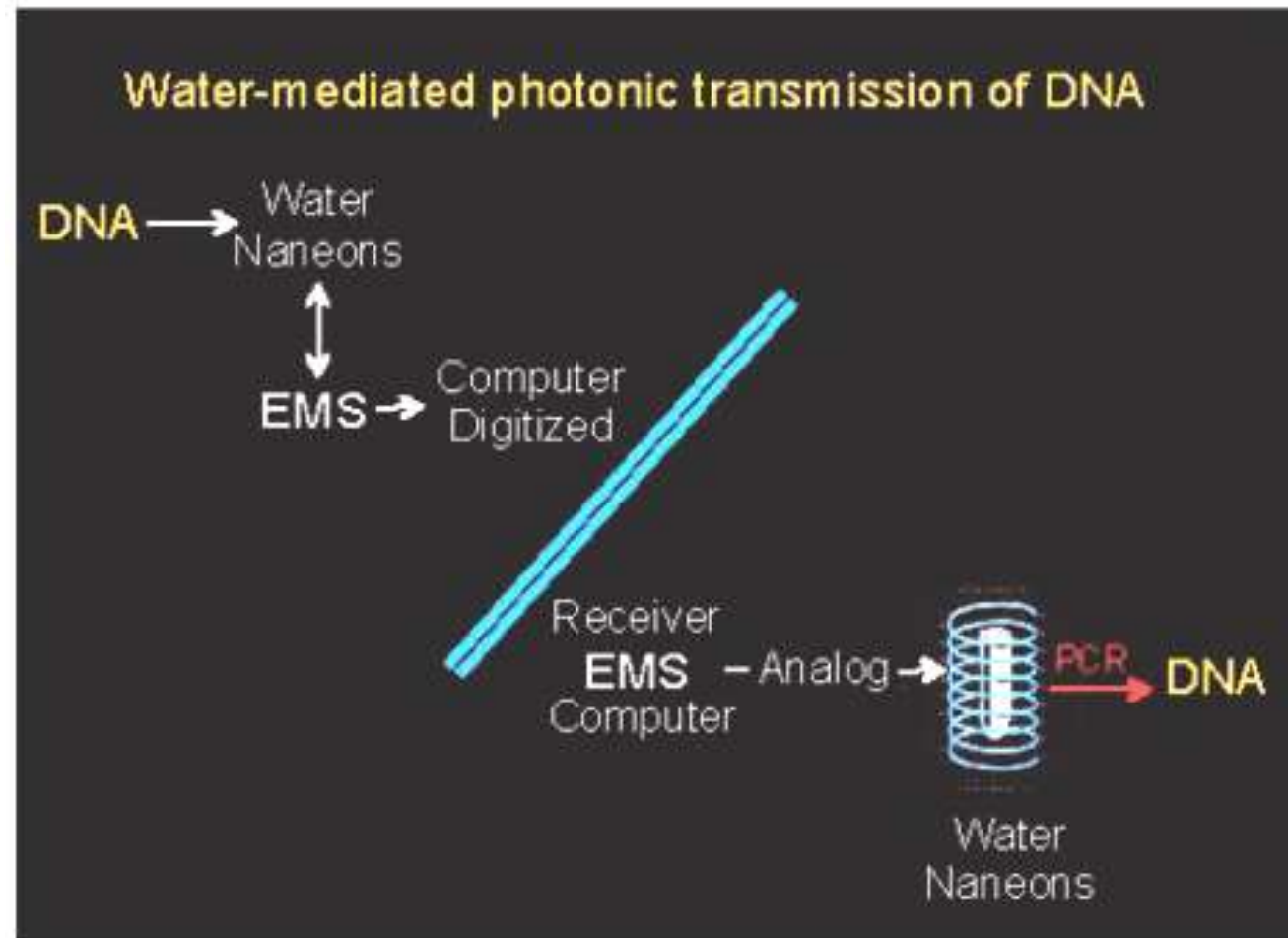
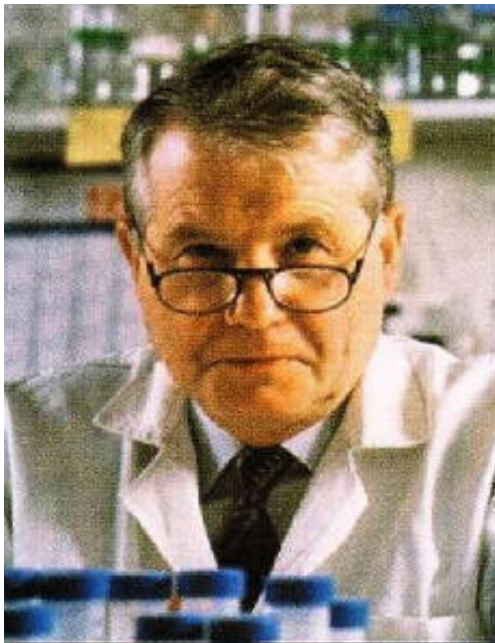




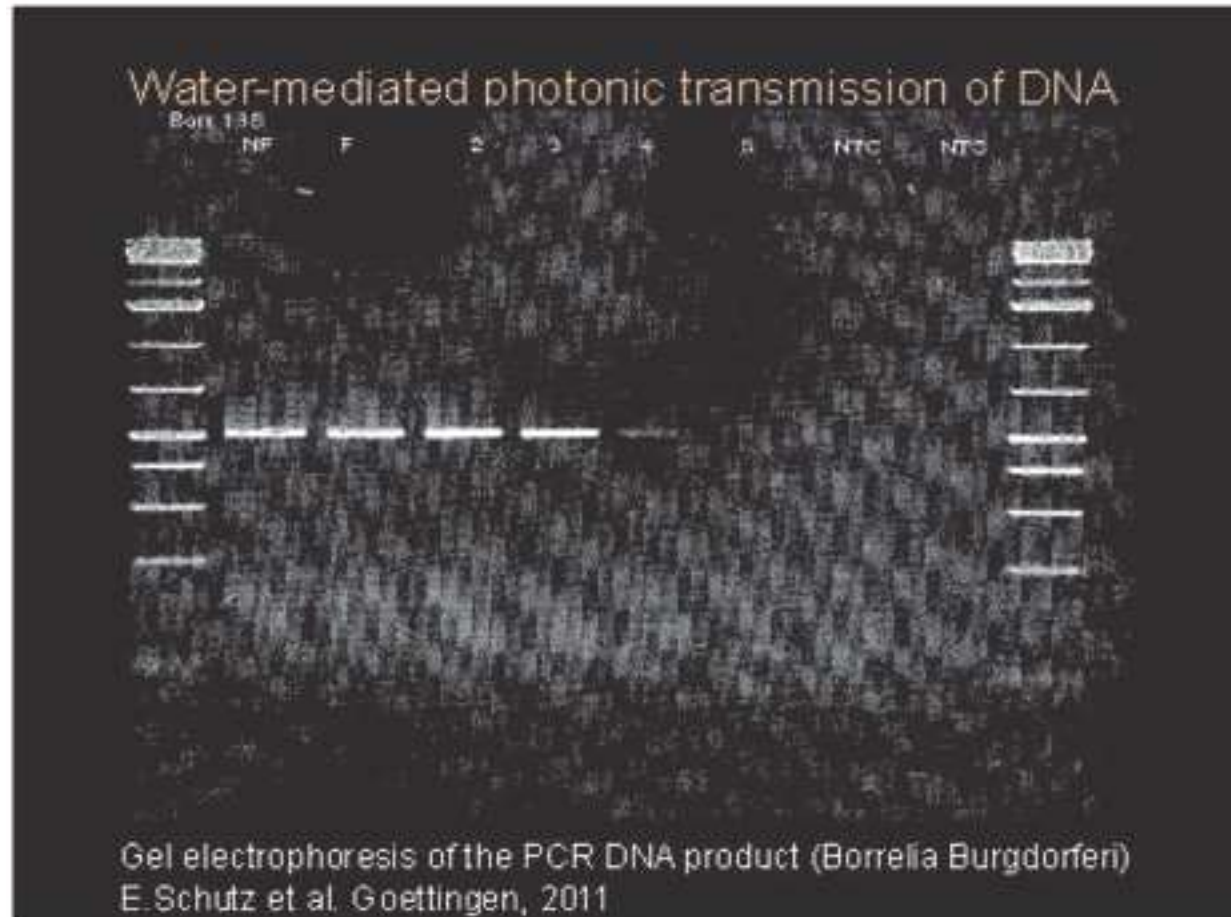
**Jacques BENVENISTE**

# Implantacja genów do organizmów

Luc Montagnier



Gen bakteryjny odtworzony z pola torsyjnego przesłanego drogą radiową w reakcji PCR. Sekwencjonowanie pokazało zgodność sekwencji z oryginałem.



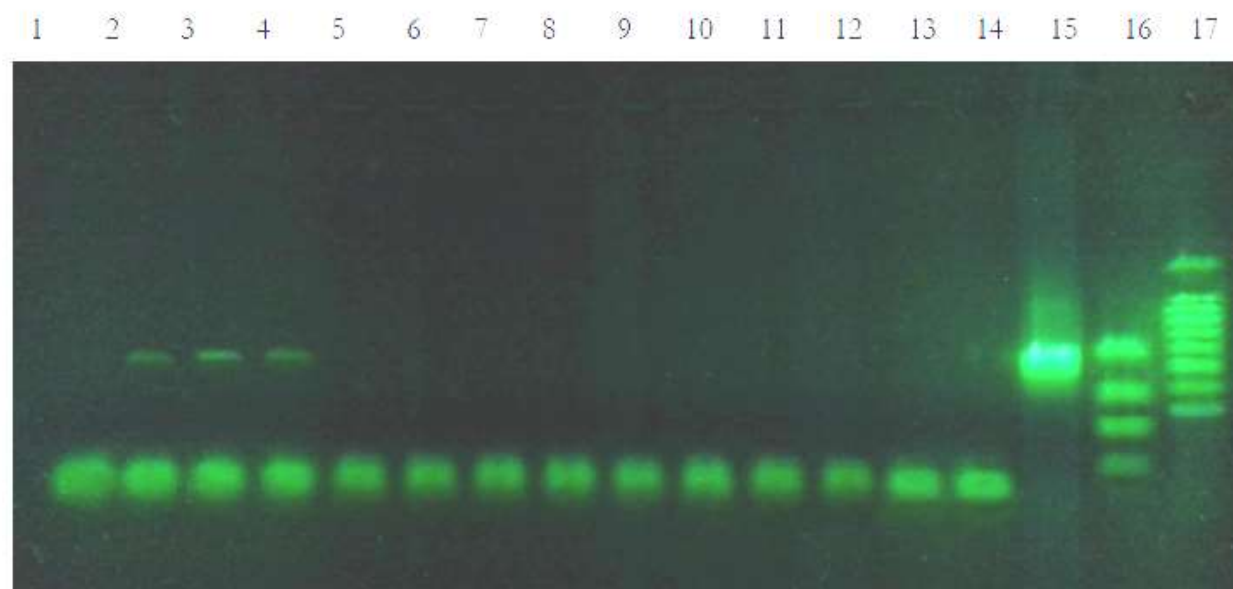
Luc Montagnier

Podobny efekt uzyskano w hodowlach komórkowych

## Peter Petrovich Gariaev

DNA plazmidowe produkt 547bp  
(ścieżki 2-4) odtworzone z pola torsyjnego

Electrophoresis from 09.02.2015



Terapia genowa informacją z pola torsyjnego przez przekazanie informacji genetycznej z pola torsyjnego zdrowej osoby: mukowiscydoza, eksperymentalna cukrzyca, regeneracja nerwu słuchowego, siatkówki. 64

## Цзян Каньчжен



Биотрон

**Акимов А.Е. объясняет принцип работы генератора Цзяна Каньчжена** следующим образом:

Цзян Каньчжен разработал устройство, названное им как “Био-СВЧ связь”. Генератор представлял собой объемную фигуру, составленную из плоских пятиугольников (1). На части этих пятиугольников размещены конуса (4). Сигнал с этого устройства снимается с помощью трубок (5).

**Внутри объемной фигуры размещен генератор стандартных сигналов (2) и объект-матрица (3). Объект (3) подвергался воздействию генератора стандартных сигналов -ГСС (2) на частоте порядка 11,0 ГГц. Торсионная компонента электромагнитного сигнала возбуждала торсионное излучение объекта (3) на собственных характеристических торсионных частотах. Это торсионное поле усиливается за счет эффекта форм (1) и (4). Торсионное излучение фокусируется в вершинах конусов (4) и снимается с помощью полых волноводов (автор, ошибочно полагая, что работа его устройства имеет электромагнитную природу, использовал волноводы).**



Из яиц действительно вылупились более крепкие цыплята, но у них были **утиные шеи, на лапках – перепонки**, помогающие плавать, а **ушные отверстия закрывала пленочка**, как у утки.

## Statystyka cech kurokaczek

Вылупилось 480 цыплят, у которых были зафиксированы следующие изменения:

**у 25% -на лапках появились перепонки;**

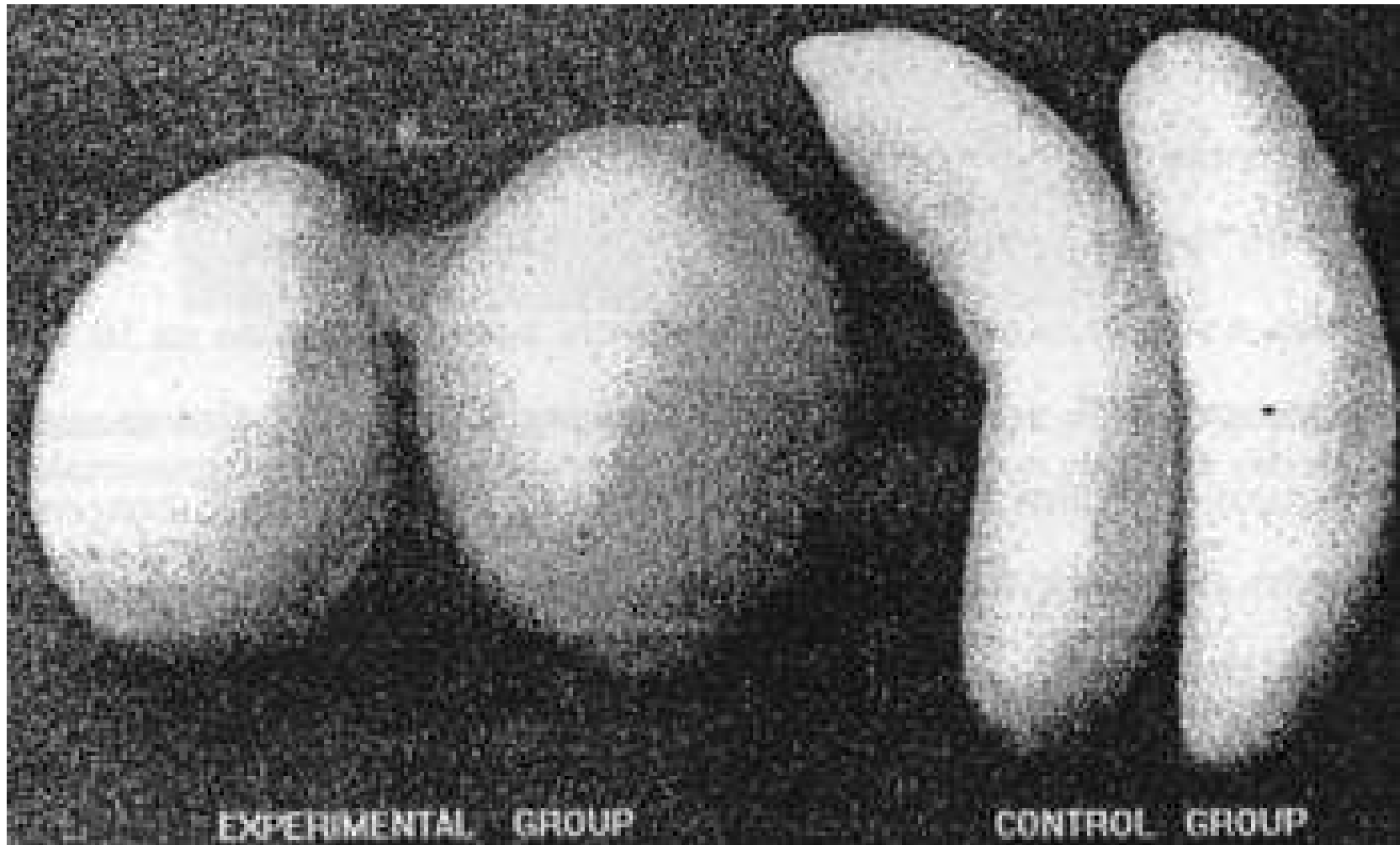
**у 80% -была плоская утиная форма головы;**

**у 90% -изменилось расположение глаз.**

**-у 70% длинная шея;**

koziół → królicza w ciąży → kozokrólik (zęby podobne do rogów)  
głowa ludzka → jajo kurze → kurczak (włosy zamiast piór)

## Ogórki o smaku i kształcie melona



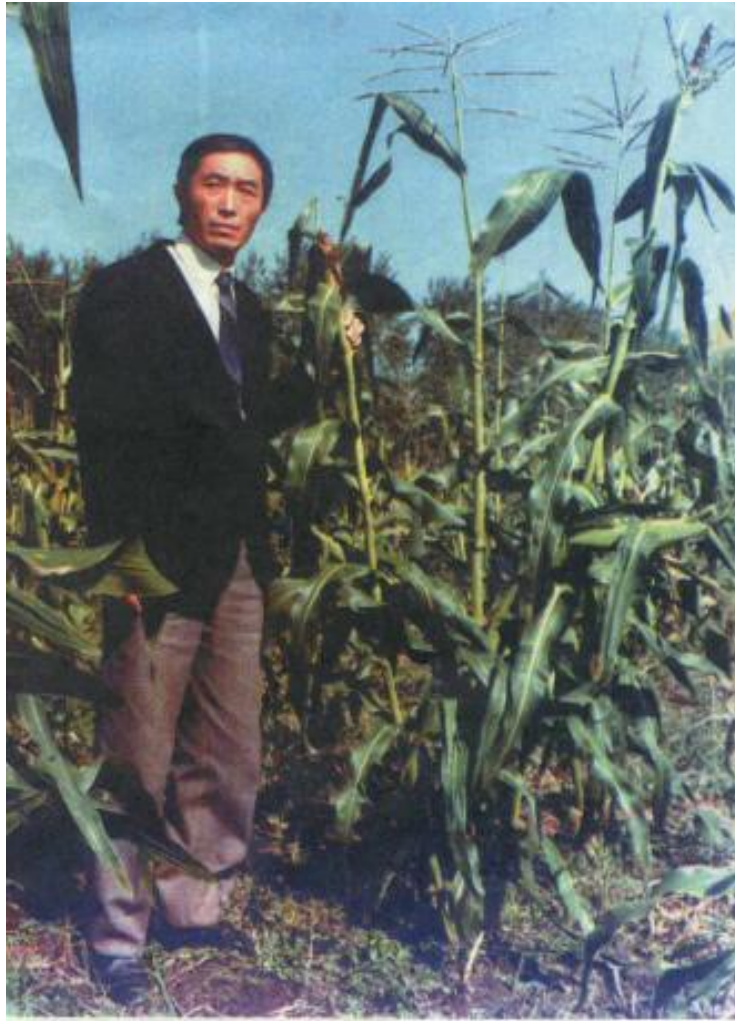
Cucumber seeds obtained melon's characteristics favouring mutation after being subject to the bioelectromagnetic field emitted by melon seedlings. The egg-shape cucumber.

## Ziarna słonecznika o smaku orzeszków ziemnych

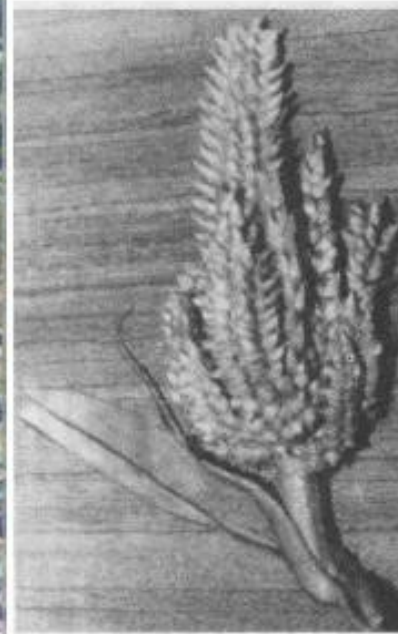


Воздействие биоэлектромагнитного поля земляного ореха (донор) на ростки подсолнуха (реципиент). У подсолнуха изменилась форма семян; частично им передались вкусовые качества арахиса.

## Przenicokukurydza



а



б

Цзян Каньчжен помещал в свою установку зеленую массу пшеницы и воздействовал радиоволнами на проросшие семена кукурузы.

свойства сохранялись на протяжении 10 лет

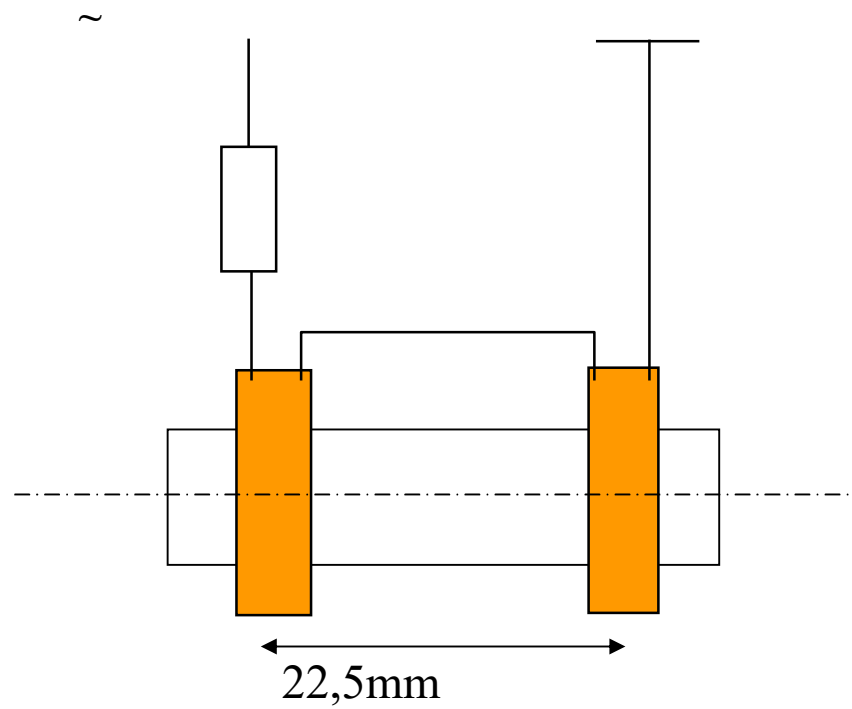
## Pulsacje Kategorii w zależności od częstotliwości

49,8Hz	K7, K8, K10, K11...	53,8	K5/K6
49,9	K7, K8, K9	54,0	K5/K6
50,0	K8/K9	54,2	K6/K7
50,2	K8/K9	54,4	K6,K7,K8
50,4	K8/K9	54,6	K7/K8
50,6	K9/K10	54,8	K7/K8
50,8	K9/K10	55,0	K7/K8
51,0	K10/K11	55,2	K8/K9
51,2	K10/K11	55,4	K8/K9
51,4	K11/K12	55,6	K8/K9
51,6	K11/K12	55,8	K8/K9
51,8	K11/K12	56,0	K8/K9 (K6?)
52,0	K12/K1	56,2	K8/K9
52,2	K12/K1	56,4	K9/K10
52,4	K1/K2	56,6	K9K10
52,6	K2/K3	56,8	K9,K10,K11
52,8	K2/K3	57,0	K9,K10,K11
53,0	K3/K4	57,2	K9,K10,K11
53,2	K3/K4	57,4	K9,K10,K11
53,4	K3,K4,K5	57,6	K9, K11,K12
53,6	K4/K5		

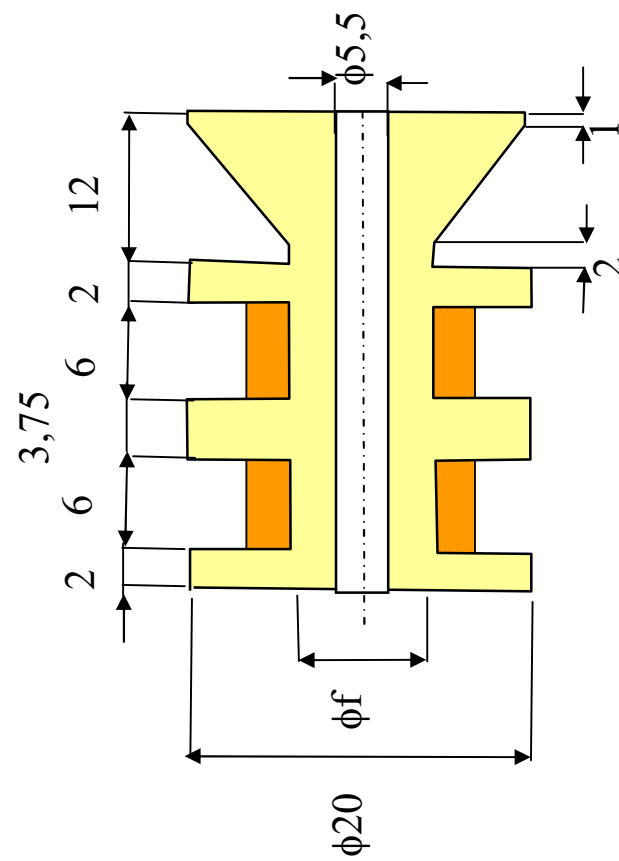
## Zmierzone częstotliwości urządzenia Torsek 1

cykl	podzielnik	numery nózek dzielników	kolor połączeń	Częstotliwość zakładana	Częstotliwość zmierzona (z okresu)
Kategorie 12/12min.	dzielnik czestotliwości 50kHz			Hz	Hz
K1/K2	954	11 1 10 *	czerwony	52,41 *	52,43
K2/K3	952	11 1 4	żółty	52,52	52,54
K3/K4	942	11 10 4	niebieski	53,08	53,13
K4/K5	934	11 7 10	zielony	53,53	53,56
K5/K6	927	11 4 6	czerwony	53,93	53,96
K6/K7	921	11 4 2	szary	54,28	54,34
K7/K8	912	11 2 4	niebieski	54,82	54,88
K8/K9	904	11 3 10	brązowy	55,31	55,34
K9/K10	986	11 9 5	biały	50,71	50,73
K10/K11	978	11 6 9	szary	51,12	51,15
K11/K12	969	11 5 11	żółty	51,60	51,62
K12/K1	960	11 5 3	zielony	52,08	52,11

## Cewka pozioma skompensowana



## Cewka pionowa skompensowana



# Torsek $\alpha$



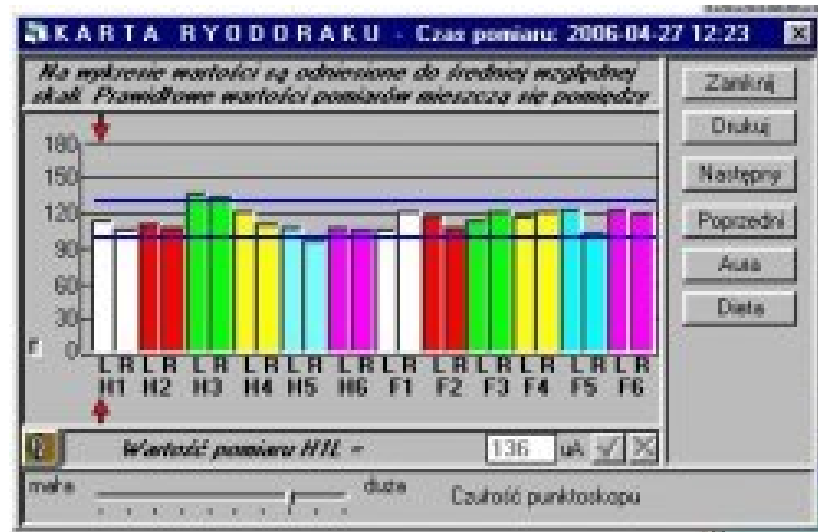


## Okolice częstotliwości 8Hz

7,0	- sekwencyjna zmiana kolorów co 12min w dół F1
7,1	- sekwencyjna zmiana kolorów co 12min w dół F1
7,2	- sekwencyjna zmiana kolorów co 12min w dół F1
7,3	- sekwencyjna zmiana kolorów co 12min w dół F2
7,4	- sekwencyjna zmiana kolorów co 12min w dół F2
7,5	- sekwencyjna zmiana kolorów co 12min w dół F2
7,6	- sekwencyjna zmiana kolorów co 12min w dół F2
7,7	K9, K8 - sekwencyjna zmiana kolorów co 12min w dół F2
7,8	K11/K12
7,9	K11/K12
8,0	K11/K12 24min/24min
8,1	K12/K1
8,2	K12/K1
8,3	K12, K2,K3,K4, K5 zmiana co 12 min
8,4	K12 K4
8,5	K12K5
8,6	K12 K6
8,7	K1 K7 K2
8,8	K8 K1
8,9	K9 K12
9,0	K9 K12

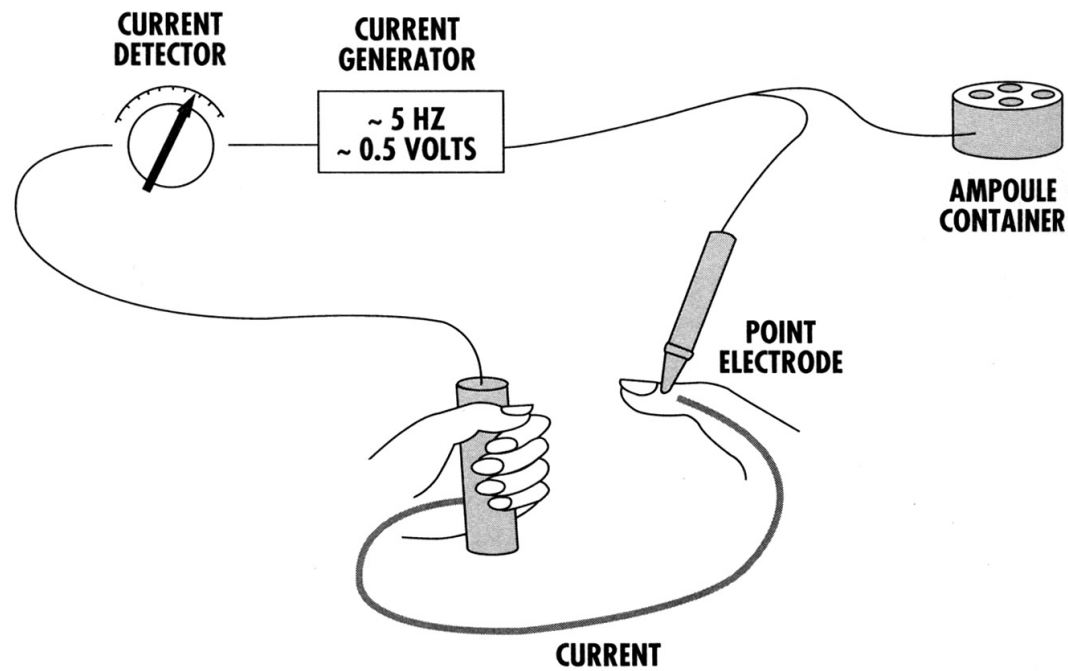
# Diagnostyka

## Metoda Ryodoraku 24 punkty akupunkturalne



# Diagnostyka

## Matoda Volla



**FIGURE 28** Simplified schematic illustration of a circuit for the electronic measurement of the conductivity of acupuncture points [modified from Kroy, 1989].

# Diagnostyka

Aparat Salvia, dr Josef Jonasz z Pragi



## Diagnostyka

### Oberon, Metatron



Nesterov Vladimir igorevich, But Jurij Stanislavovich; method for improving reliability of biolocation examination; patent RU2119806 (1998)

Czy ten układ działa ?

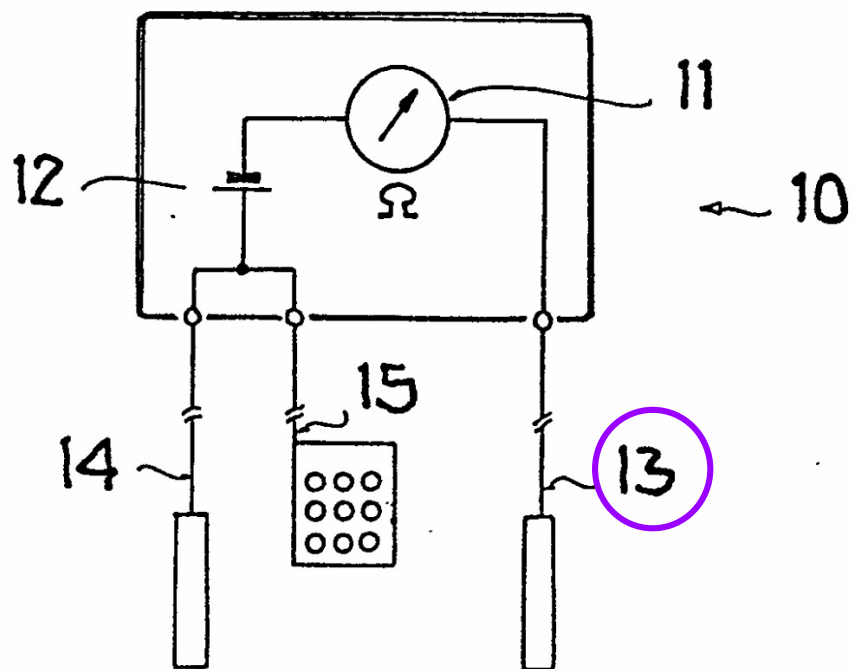
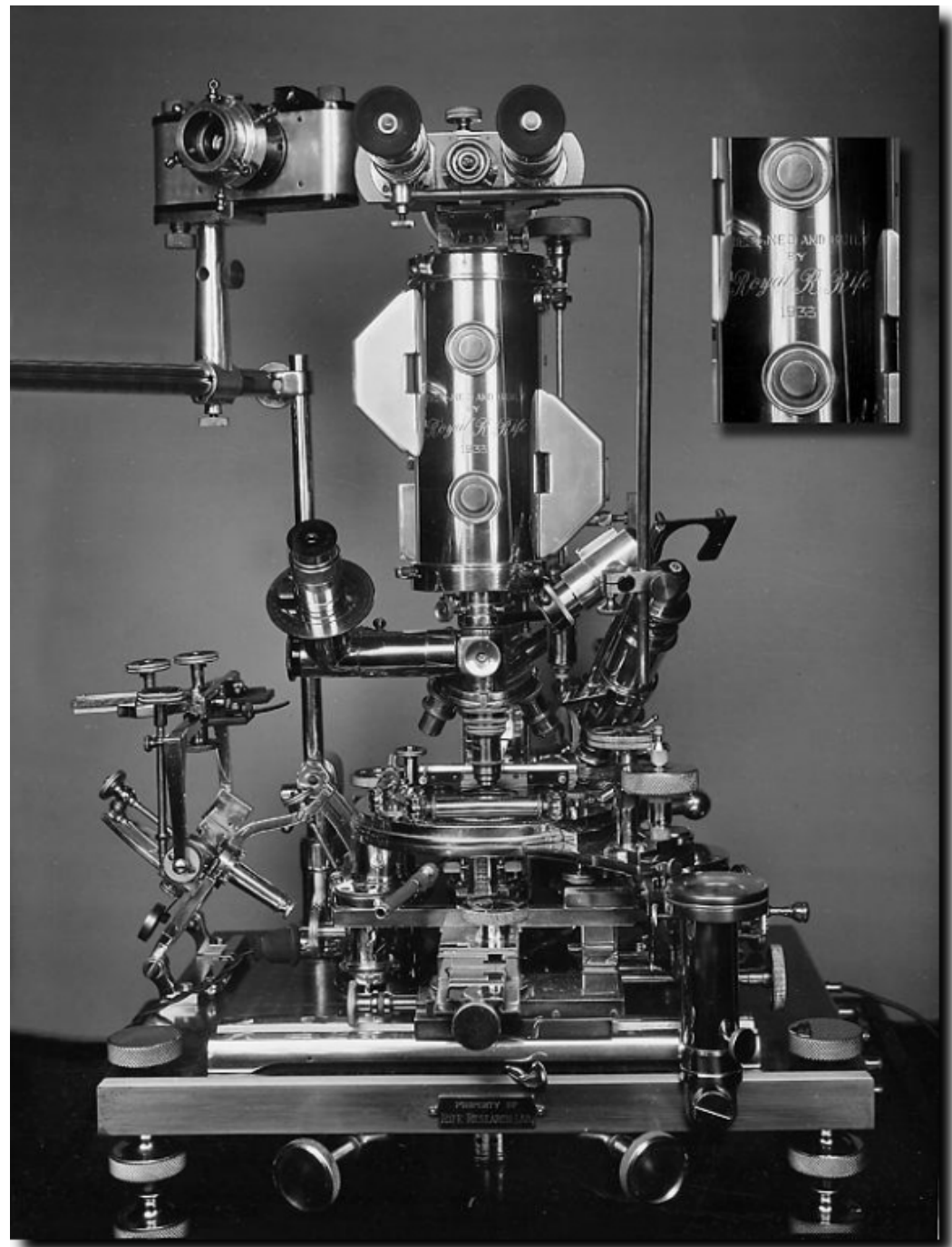
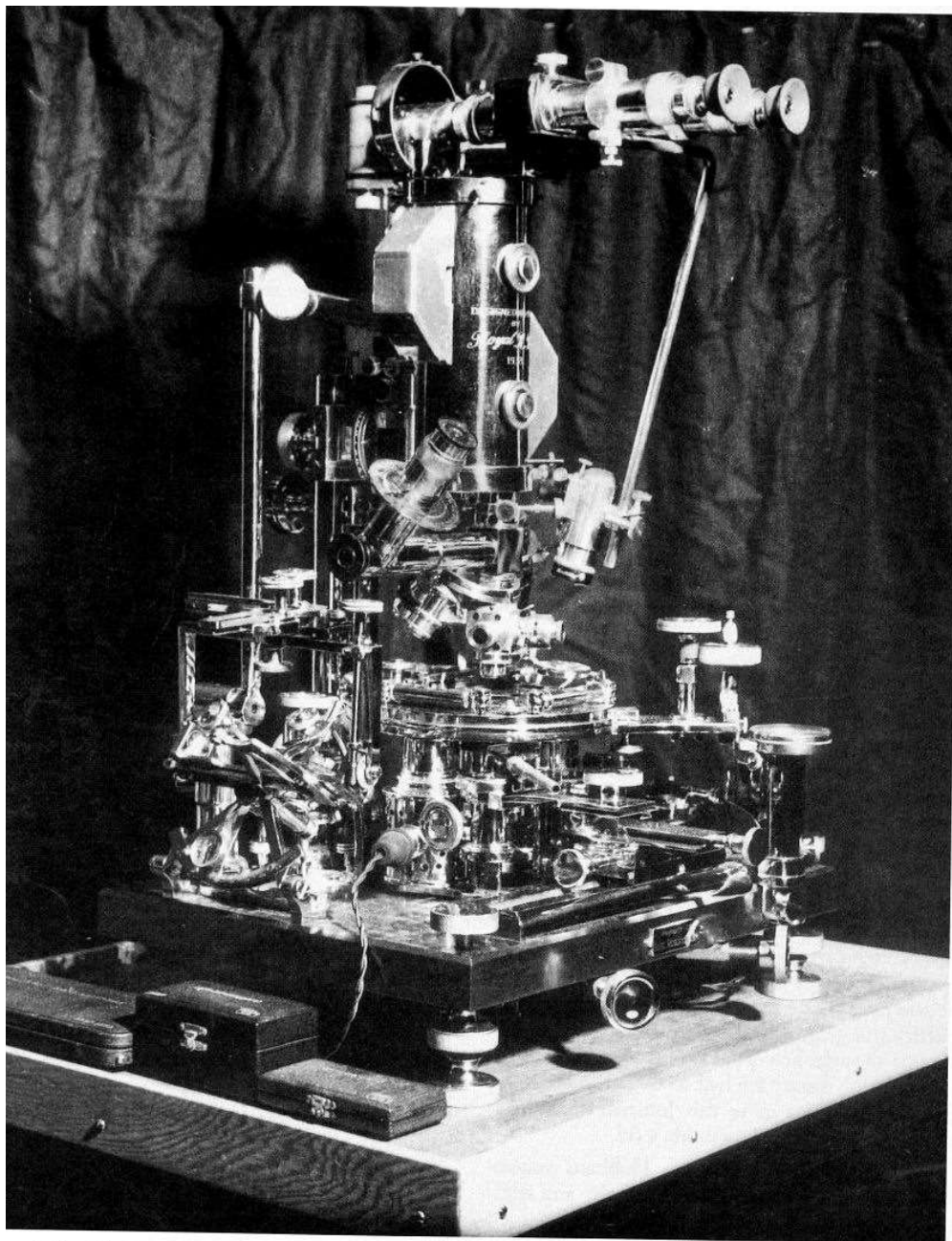


Fig.1

Peter Terwen; Transcription apparatus for electroacupuncture treatments;  
Patent EP0158310

# Mikroskop Rife'a





G. 1. The Rife Universal Microscope of 1933.  
The original picture seems to have come from Rife himself, and shows off the instrument in a way calculated to impress.

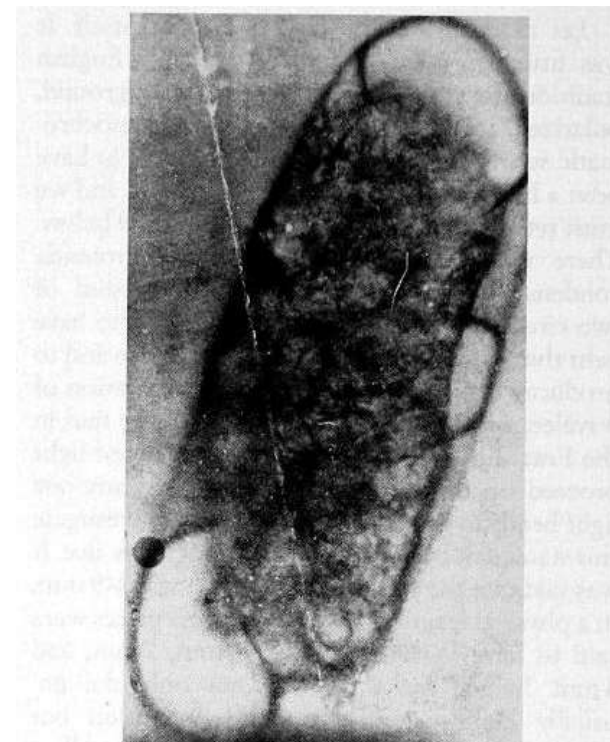
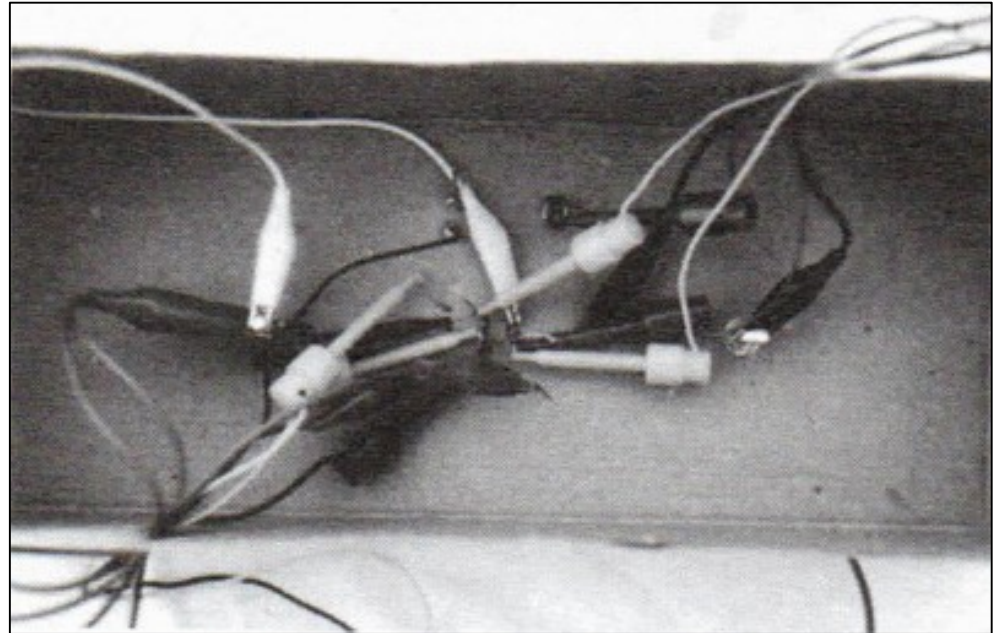


FIG. 5. Plate from page 125 of the paper.  
The caption reads: Typhoid Bacillus [The Universal  
Microscope]. 23,000X on 35 mm film, enlarged 300,000X.  
[Height of plate as printed:118 mm].

## Hulda Clark



- częstotliwości
- robaki
- nowotwory

# Nowoczesne techniki wojenne z użyciem pól torsyjnych

## Sieć 5G – anteny fazowane

1. Broń mikrofalowa – uszkodzenia fizjologiczne
2. Oddziaływanie na układ nerwowy
3. Implantacja genów i wirusów do organizmów  
(Luc Montagnier, Peter Gariaev)
4. Epidemia nowotworów
5. Aktywacja wirusów

## Generatory wiązek cząstek pól torsyjnych

- Obniżanie masy krytycznej ładunków jądrowych  
(zimna synteza, RU)

## Teleportacja pól torsyjnych

(Abrams, Krasnobryezew) zdjęcia

## Broń mikrofalowa - Anteny fazowane

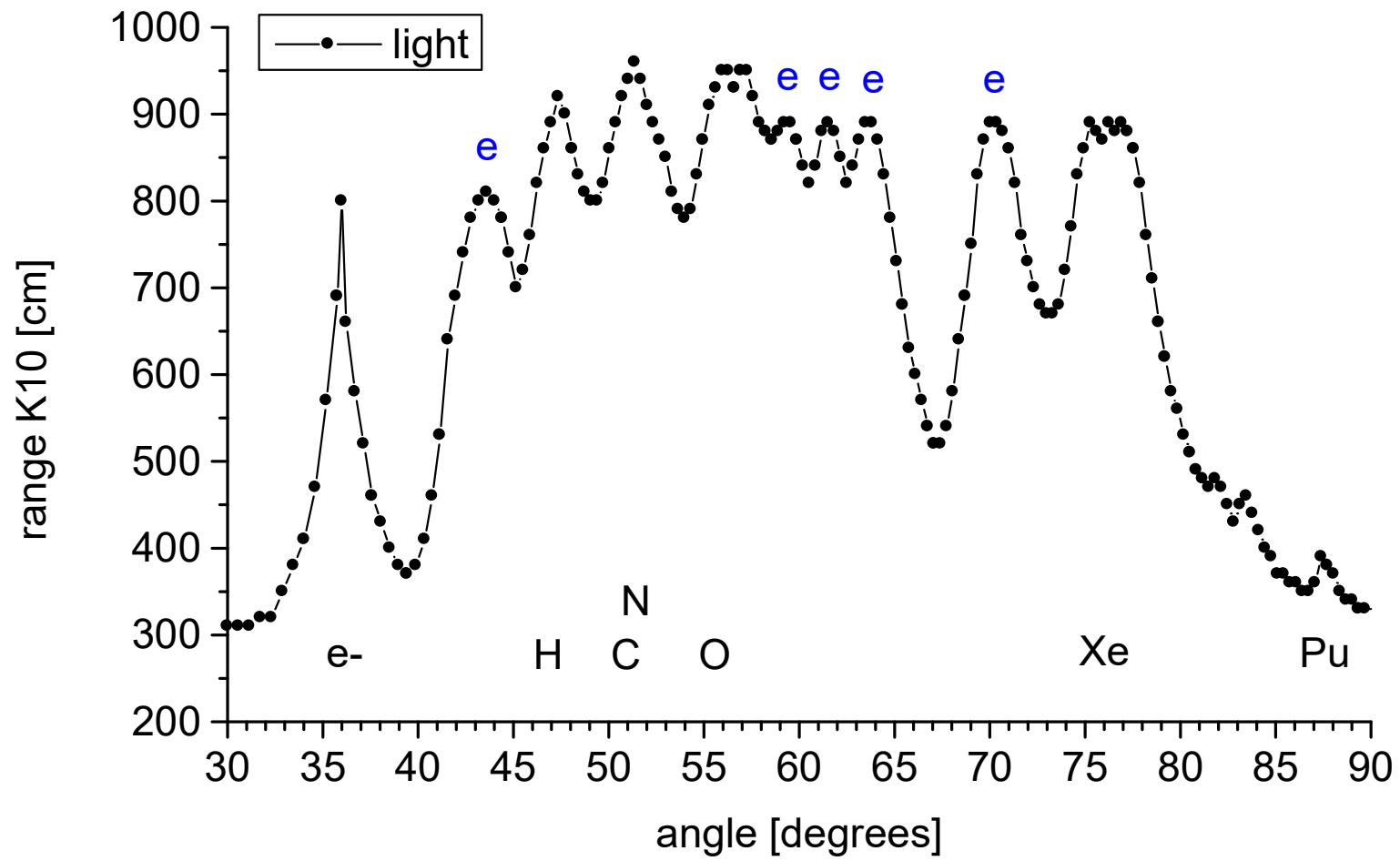


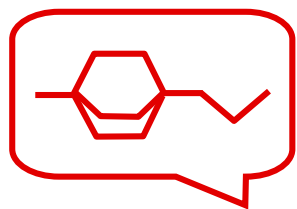
## Broń elektroniczna Filin 5P-42



Fregata Admiral Gorszkow







# **Polskie Towarzystwo Medycyny Informacyjnej**

- Preparaty informacyjne wysokiej jakości
- Urządzenia radioniczne wysokiej jakości
- Kontrola jakości preparatów informacyjnych
- Choroby od nadmiernego poziomu pól torsyjnych
- Udział prionów w medycynie informacyjnej
- Zdrowy dom – radiestezja satelitarna
- Wyzwania czasu, Covid i pseudoszczepionki